

## Simulation of Second Harmonic Generation of a Pulsed Nd:YAG Laser Using Nonlinear Crystals: with the Approach of Efficiency Investigation<sup>1</sup>

Rasoul Pashaie<sup>2</sup>, Nader Amiri Rad<sup>3\*</sup>

Received: 2020.02.27

Accepted: 2020.07.27

### Abstract

Second harmonic generation of Nd:YAG laser, as one of the most applicable and popular solid-state lasers, has been widely used in different fields of military applications and in diverse fields of medicine and industry *etc.*, in last few decades. Non-linear crystals are mentioned as one of the most efficient and common methods for harmonic generating of lasers. In this research, we performed the simulation of the second and fourth harmonic generation of pulsed Nd:YAG laser with characteristics of 1064nm wavelength, 1joule/cm<sup>2</sup> energy density, and 10ns pulse width, and considering the effects of temperature and divergence angle of the incident beam. The conversion efficiency of the second harmonic generation of this laser was investigated using KTP, BBO and LBO crystals. The simulation results suggested the KTP crystal as the most efficient crystal with 89.59% conversion efficiency. Formerly, achieving 80% efficiency using Nd: YAG laser with similar characteristics of the simulated specifications presented in this paper by using KTP crystal in an experimental configuration had been presented. In addition, the conversion efficiency of the fourth harmonic generation of this laser was investigated using BBO, CLBO and DKDP crystals. The simulation results suggested the BBO crystal as the most efficient crystal with 19.21% conversion efficiency. For the sake of comparison, 12% efficiency in the experimental layout with similar Nd:YAG laser specifications, presented in this article, had been presented in another article.

**Keywords:** *Conversion Efficiency, Nonlinear Crystals, Second Harmonic Generation (SHG), Fourth Harmonic Generation (FHG), Nd:YAG Laser.*

<sup>1</sup> DOI: 10.22051/jap.2020.30493.1156

<sup>2</sup> PhD Student in atomic and molecular physics, Physics Department, Iran University of Sciences and Technology, Tehran, Iran. Email: rasoulpashaie1993@gmail.com

<sup>3</sup> Researcher, Physics Department, Imam Hussein University, Tehran, Iran. (Corresponding Author). Email: naderamiri@ihu.ac.ir

## مقاله پژوهشی

# شبیه‌سازی تولید هماهنگ‌های دوم و چهارم لیزر تپی با استفاده از بلورهای غیرخطی: با رویکرد بررسی بازده<sup>۱</sup>

رسول پاشایی<sup>۲</sup>، نادر امیری‌راد<sup>۳\*</sup>

تاریخ دریافت: ۱۳۹۸/۱۲/۰۸

تاریخ پذیرش: ۱۳۹۹/۰۴/۰۷

### چکیده

در چند دهه اخیر، از هماهنگ‌های دوم و چهارم لیزر Nd:YAG به عنوان یکی از پر کاربردترین و محبوب‌ترین لیزرهای حالت جامد، به طور گسترشده‌ای در زمینه‌های مختلف نظامی و در زمینه‌های مختلف پزشکی و صنعتی و ... استفاده شده است. از روش‌های پر بازده و متداول در تولید هماهنگ لیزرها می‌توان به استفاده از بلورهای غیرخطی اشاره کرد. در این مقاله، شبیه‌سازی تولید هماهنگ‌های دوم و چهارم لیزر تپی Nd:YAG با ویژگی‌های طول موج ۱۰۶۴ نانومتر، چگالی انرژی ۱ ژول در سانتی‌متر مربع و نیز پنهانی زمانی تَپ ۱۰ نانو ثانیه با در نظر گرفتن آثار دمایی و زاویه واگرایی برتوی فرودی انجام شده است. بازدهی تبدیل تولید هماهنگ دوم این لیزر با استفاده از بلورهای KTP و

<sup>1</sup> DOI: 10.22051/jap.2020.30493.1156

<sup>2</sup> دانشجوی دکتری فیزیک اتمی و مولکولی، دانشکده فیزیک، دانشگاه علم و صنعت ایران، تهران، ایران.

rasoulpashaei1993@gmail.com

<sup>3</sup> پژوهشگر، دانشکده و پژوهشکده علوم پایه، دانشگاه جامع امام حسین<sup>(ع)</sup>، تهران، ایران. (نویسنده مسئول).

naderamiri@ihu.ac.ir

## ۱۸ / شبیه‌سازی تولید هماهنگ‌های دوم و چهارم لیزر تیپ Nd:YAG با استفاده از بلورهای غیرخطی: ...

BBO و LBO بررسی شده است. نتایج شبیه‌سازی، بلور KTP را با بازدهی ۸۹/۵۹ درصد به عنوان پریازده‌ترین بلور پیشنهاد می‌کنند. پیش‌تر به دست آوردن بازدهی ۸۰ درصد با استفاده از چیدمان تجربی از لیزر Nd:YAG با ویژگی‌های مشابه مشخصات شبیه‌سازی شده در این مقاله با استفاده از بلور KTP ارائه شده بود. هم چنین بازدهی‌بی‌دل تولید هماهنگ چهارم این لیزر با استفاده از بلورهای BBO و CLBO و DKDP بررسی شده است. نتایج شبیه‌سازی حاضر، بلور BBO را با بازدهی ۱۹/۲۱ درصد به عنوان پریازده‌ترین بلور پیشنهاد می‌کند. این در حالی است که بازدهی ۱۲ درصدی در چیدمان تجربی با مشخصات لیزر Nd:YAG مشابه طی مقاله‌ای ارائه شده بود.

**واژگان کلیدی:** بازدهی تبدیل، بلورهای غیرخطی، تولید هماهنگ دوم،

Nd:YAG تولید هماهنگ چهارم، لیزر

### ۱. مقدمه

شاخصه‌ای از فیزیک که به مطالعه ویژگی‌های نوری مواد در حضور میدان‌های پردازد، اپتیک غیرخطی نام دارد [۱]. وقتی مواد دی‌الکتریک تحت میدان الکترومغناطیسی قرار می‌گیرند، پاسخی از خود نشان می‌دهند. این پاسخ به صورت تغییر گشتاور دوقطبی اتم‌ها در این مواد نمایان می‌شود که موجب ایجاد قطبش در مواد دی‌الکتریک می‌شود. اگر شدت میدان ضعیف باشد رابطه قطبش با میدان اعمالی خطی است [۱]:

$$P(t) = e_0 c^{(1)} E(t) \quad (1)$$

که در آن،  $\square^{(1)}$  پذیرفتاری خطی و  $e_0$  ثابت گذردهی خلاً است. در صورت شدید بودن میدان، این رابطه غیرخطی است [۱]:

$$P(t) = e_0 [c^{(1)} \square^{\circledR} E(t) + c^{(2)} \square^{\circledR} E^2(t) + c^{(3)} \square^{\circledR} E^3(t) + \dots] \quad (2)$$

که در آن،  $\square^{(2)}$  و  $\square^{(3)}$  ... به ترتیب پذیرفتاری‌های الکتریکی مرتبه دوم و سوم و ... هستند [۱]. در میان پذیرفتاری‌های غیرخطی، پذیرفتاری مرتبه دوم، قوع پدیده‌هایی همچون تولید هماهنگ دوم را موجب می‌شود که موضوع مورد بحث این مقاله است [۱].

از هماهنگ دوم این لیزر به صورت گسترده‌ای در زمینه‌های مختلف نظامی [۲]، پزشکی، صنعتی [۳] و ... استفاده می‌شود. از کاربردهای نظامی هماهنگ‌های دوم و چهارم لیزر Nd:YAG، می‌توان به استفاده از آن‌ها به منظور نشانه‌گذاری هدف اشاره کرد که یکی از دقیق‌ترین شیوه‌های هدایت بمب‌ها و موشک‌های است؛ مسافت‌یابی و تعیین دقیق فاصله با هدف نیز

از دیگر کاربردهای هماهنگ دوم لیزر Nd:YAG است. همچنین، بسیاری از ادوات و سلاح‌های نظامی با قرار گرفتن در معرض لیزر پرتوان ۵۳۲ نانومتر و ۲۶۶ نانومتر از کار افتاده، یا در عملکرد آنها خلل ایجاد می‌شود که از این خاصیت برای متفرق نمودن افراد شرکت کننده در اغشاشات استفاده می‌کنند. به طور کلی، از لیزرهای با طول موج‌های ۵۳۲ و ۲۶۶ نانومتر جهت از کار انداختن یا به اشیاع رساندن حساسه‌های الکتروپاتیک استفاده می‌شود. یکی دیگر از کاربردهای نظامی مهم هماهنگ دوم این لیزر، به کارگیری آنها در شناسایی مواد منفجره به کمک روش بینابنایی لیزری است. از کاربردهای پیشکشی طول موج‌های ۵۳۲ و ۲۶۶ نانومتر لیزر Nd:YAG می‌توان به استفاده در زمینه‌های آندوسکوپی، جراحی بافت‌های حساس دهان، جراحی زخم مثانه و قطع خونریزی مربوط به معده و روده، درمان ضایعات سطحی پوستی و جوانسازی پوست اشاره کرد. فناوری‌های علامت‌گذاری در تولید صنعتی نیز از قابلیت‌های جذاب هماهنگ دوم لیزر Nd:YAG است. فلزات، پلاستیک، سرامیک و سایر مواد را می‌توان با تابش اشعه لیزر در طول موج‌های ۵۳۲ و ۲۶۶ نانومتر مشخص کرد. از روش‌های مختلفی مانند استفاده از فراماده‌های مغناطیسی [۴، ۵]، بلورهای پیزوکلتریک [۶]، مواد پلیمری [۷] به منظور تولید هماهنگ دوم این لیزر استفاده می‌شود. یکی از مرسوم‌ترین روش‌ها استفاده از بلورهای غیرخطی است. از دلایل استفاده از این روش می‌توان به: مقرون به صرفه بودن، پیچیده نبودن چیدمان، بازدهی عالی تبدیل تولید هماهنگ اشاره کرد. طرحی از فرایند تولید هماهنگ دوم با استفاده از بلور غیرخطی در شکل (۱) کشیده شده است که در آن ۲ فوتون با بسامد  $2W$  جذب بلور شده و فوتونی با بسامد  $2W$  تولید می‌شود.



شکل ۱ طرحی از فرایند غیرخطی تولید هماهنگ دوم.

در خصوص ویژگی‌های بلور غیرخطی، به منظور دست‌یابی به بیشینه بازدهی تبدیل باید پارامترهایی همچون: ضریب غیرخطی مؤثر بلور ( $d_{eff}$ )، آستانه تخریب<sup>۱</sup>، اندازه بلور، زاویه walk-off، پذیرفتاری زاویه‌ای، پذیرفتاری دمایی ( $D_T$ ) و پذیرفتاری طیفی ( $D_I$ ) را مد نظر قرار داد [۸]. بلورهای KTP و BBO و LBO از جمله بلورهای غیرخطی پر بازده در تولید هماهنگ دوم و

<sup>۱</sup> Damage Threshold

۲۰ / شبیه‌سازی تولید هماهنگ‌های دوم و چهارم لیزر تپی Nd:YAG با استفاده از بلورهای غیرخطی: ...

نیز BBO و CLBO از جمله بلورهای غیرخطی پربازده در تولید هماهنگ چهارم لیزر Nd:YAG هستند. دو روش برای تولید هماهنگ دوم متداول است: در روش اول، بلور غیرخطی را در درون کاواک قرار می‌دهند. این روش بازدهی خوبی دارد، اما نمی‌توان در انرژی‌های زیاد از این روش استفاده کرد و طبیعتاً دست‌یابی به طول موج هماهنگ‌ها با توان خوب با مشکل مواجه خواهد شد. در روش دوم، بلور غیرخطی را خارج از کاواک در مسیر پرتو قرار می‌دهند [۸]. در این روش به انرژی بالا نیز می‌توان دست‌یابی کرد. در این مقاله، از روش دوم به منظور شبیه‌سازی تولید هماهنگ دوم استفاده کرده‌ایم.

از پارامترهای مهم در دست‌یابی به بازدهی عالی تولید هماهنگ‌ها می‌توان به زاویه و اگرایی پرتو، توان لیزر فرودی، نرخ تکرار تپ و پهنهای زمانی تپ اشاره کرد. هر قدر زاویه و اگرایی پرتو کمتر باشد، بازدهی به دست آمده به دلیل واگرایی کمتر پرتو در بلور از زاویه تطابق فاز بیشتر خواهد بود. در خصوص توان لیزر، هرچه توان بیشتر باشد بازدهی کمتری را به دلایل آستانه تخریب بلور، حد اشباع بازدهی بلور باید انتظار داشت. نرخ تکرار تپ و پهنهای زمانی نیز در توان لیزر اثر می‌گذارد که در هر بلور باید به تناسب آستانه تخریب آن بلور از لیزر با توان‌های متناسب استفاده کرد. در ادامه، نمونه‌هایی از کارهای تجربی را که پیش‌تر انجام شده است، گزارش خواهیم کرد که بازدهی هریک به تناسب مشخصات لیزر و بلور، نوع درون و برون کاواکی بودن چیدمان و شرایط محیطی و ادوات اپتیکی استفاده شده در چیدمان آزمایشگاهی متفاوت است.

از جمله کارهای تجربی انجام شده در این زمینه هماهنگ دوم لیزر Nd:YAG: دست‌یابی به بازدهی ۵۰ درصدی با استفاده از بلور KTP توسط تماس و همکاران در یک چیدمان برون کاواکی با بهره‌گیری از لیزر تپی Q سوئیچ شده Nd:YAG با طول موج ۱۰۶۴ نانومتر، توان قله ۶۰ مگاوات (معادل انرژی قله ۱۸۰۰ میلی‌ژول) و پهنهای زمانی تپ ۳۰ نانوثانیه و نیز طول بلور ۹ میلی‌متر [۹]، ارائه گزارش دست‌یابی به بازدهی ۵۹ درصد توسط فان و همکاران در یک چیدمان برون کاواکی با استفاده از بلور KTP به طول ۳,۹ میلی‌متر، لیزر Q سوئیچ شده Nd:YAG با مشخصات توان قله ۶۰ مگاوات (معادل انرژی قله ۲۷۰۰ میلی‌ژول)، پهنهای زمانی تپ ۴۵ نانوثانیه و نرخ تکرار تپ ۱۰ هرتز [۱۰]، حصول بازدهی ۸۰ درصدی با به کار گیری بلور KTP توسط براون و همکاران در یک چیدمان برون کاواکی با به کار گیری لیزر تپی Q سوئیچ شده Nd:YAG با مشخصات انرژی ۹۰۰ میلی‌ژول و نرخ تکرار تپ ۱۰ هرتز و نیز طول بلور ۱۰ میلی‌متر [۱۱]، دست‌یابی به بازدهی ۱۳ درصدی با استفاده از بلور KTP توسط خانم حاج اسماعیل ییگی و همکاران در یک چیدمان درون کاواکی با استفاده از لیزر تپی Q سوئیچ شده ۱۰ کیلوهertz

Nd:YAG با توان قله ۱,۵ مگاوات (معادل انرژی قله ۱۰,۵ میلیژول)، پهنهای زمانی آن ۹۰ نانوثانیه و نیز طول بلور ۷ میلیمتر [۲]، ارائه مقاله دست یابی به بازدهی ۷۵ درصدی بهره بردن از بلور BBO به طول ۶ میلیمتر توسط وو و همکاران در یک چیدمان درون کاواکی با بهره‌گیری از لیزر تپی Nd:YAG با توان قله ۲,۶ مگاوات (معادل انرژی قله ۴۲۱,۲ میلیژول)، پهنهای زمانی تپ ۱۷ نانوثانیه و نیز نرخ تکرار تپ ۲۵۰ هرتز [۱۲]، گزارش حصول بازدهی ۹,۶۴ درصدی با به کارگیری بلور BBO به طول ۱۲ میلیمتر توسط یوان و همکاران در یک چیدمان درون کاواکی به کمک لیزر Nd:YAG دارای مشخصات توان قله ۱,۴ مگاوات (معادل انرژی قله ۷۵,۴ میلیژول)، پهنهای زمانی تپ ۵۴ نانوثانیه و نرخ تکرار تپ ۲۰ کیلوهرتز [۱۳]، دست یابی به بازدهی ۵۳,۴ درصدی با استفاده از بلور LBO به طول ۲۵ میلیمتر در یک چیدمان درون کاواکی توسط ژانگ و همکاران با بهره‌گیری از لیزر تپی Nd:YAG با مشخصات توان قله ۵۴ مگاوات (معادل انرژی قله ۲۷۰ میلیژول)، پهنهای زمانی تپ ۵ نانوثانیه و نرخ تکرار تپ ۵۰۰ هرتز [۱۴]، ارائه گزارش حصول بازدهی ۳۵,۷ درصدی با بهره‌گیری از بلور گیری از بلور LBO به طول ۲۰ میلیمتر توسط دادلی و همکاران در یک چیدمان درون کاواکی با استفاده از لیزر تپی Nd:YAG با مشخصات توان قله ۰,۹ مگاوات (معادل انرژی قله ۷۰ میلیژول)، پهنهای زمانی تپ ۷۰ نانوثانیه و نیز نرخ تکرار تپ ۱۰ کیلوهرتز [۱۵] اشاره کرد.

از جمله کارهای تجربی انجام شده در زمینه هماهنگ چهارم این لیزر نیز می‌توان به: ارائه گزارش دست یابی به بازدهی ۹,۶ درصد با استفاده از بلور BBO به طول ۶ میلیمتر توسط بهانداری و همکاران به کمک لیزر تپی Nd:YAG با مشخصات توان قله ۲,۶ مگاوات (معادل انرژی قله ۱,۳ میلیژول)، پهنهای زمانی تپ ۵۳۰ پیکوثانیه و نرخ تکرار تپ ۱ کیلوهرتز [۱۶]، رسیدن به بازدهی ۹,۷۴ درصد با به کارگیری بلور BBO با طول ۸ میلیمتر توسط ژو و همکاران با بهره‌گیری از لیزر تپی Nd:YAG با مشخصات توان قله ۱۷,۳ مگاوات (معادل انرژی قله ۱ میلیژول)، پهنهای زمانی تپ ۶۰ نانوثانیه و نرخ تکرار تپ ۱۲,۵ کیلوهرتز [۱۷]، گزارش حصول بازدهی ۳۵ درصدی با به کارگیری بلور BBO به طول ۱۰ میلیمتر توسط کومار و همکاران با استفاده از لیزر تپی Nd:YAG با ویژگی‌های توان قله ۱۲,۵ مگاوات (معادل انرژی قله ۱,۰ میلیژول)، پهنهای زمانی تپ ۱۲,۵ نانوثانیه و نرخ تکرار تپ ۸۰ مگاهرتز [۱۸]، رسیدن به بازدهی ۱۹,۵ درصد با استفاده از بلور BBO با طول ۷ میلیمتر توسط یانگ و همکاران به کمک لیزر تپی Nd:YAG با مشخصات توان قله ۱۴ مگاوات (معادل انرژی قله ۱۴,۰ میلیژول)، پهنهای زمانی تپ ۱۰,۷ نانوثانیه و نرخ تکرار تپ ۱۵ کیلوهرتز [۱۹]، ارائه گزارش دست یابی به بازدهی ۶۸,۹ درصدی با بهره‌گیری از بلور DKDP با طول ۱۵۰ میلیمتر توسط چای و همکاران با بهره‌گیری از لیزر تپی Nd:YAG با

۲۲ / شبیه‌سازی تولید هماهنگ‌های دوم و چهارم لیزر تیپ Nd:YAG با استفاده از بلورهای غیرخطی: ...

مشخصات توان قله ۴۰۰ مگاوات (معادل انرژی قله ۴۰ میلی‌ژول)، پهناهی زمانی تپ ۵۰ پیکوثانیه و نرخ تکرار تپ ۱ هرتز [۲۰]، ارائه مقاله دست‌یابی به بازدهی ۴۸ درصدی بهره بردن از بلور CLBO با طول ۹ میلی‌متر توسط لیو و همکاران با استفاده از لیزر تپی Nd:YAG استفاده شده با مشخصات توان قله ۴۰۰ مگاوات (معادل انرژی قله ۴۰۰ میلی‌ژول)، پهناهی زمانی تپ ۱ نانوثانیه و نرخ تکرار تپ ۱۰ هرتز [۲۱] اشاره کرد. در این مقاله، شبیه‌سازی تولید هماهنگ دوم لیزر تپی Nd:YAG با ویژگی‌های طول موج ۱۰۶۴ نانومتر، چگالی انرژی ۱ ژول بر سانتی‌متر مربع و پهناهی زمانی تپ ۱۰ نانو ثانیه با در نظر گرفتن آثار دمایی و زاویه و اگرایی پرتو فرودی با استفاده از بلورهای غیرخطی KTP و LBO و نیز هماهنگ چهارم بلورهای BBO و CLBO و DKDP به منظور مشخص شدن پربازده‌ترین بلورها انجام شده است.

## ۲. بازدهی تبدیل تولید هماهنگ

پدیده‌های تولید هماهنگ در جامدات دی‌الکتریک به خوبی بررسی شده‌اند و با وسعت زیادی در فیزیک پیشرفت‌هه استفاده شده‌اند و در همه آن‌ها با استفاده از نور لیزر با بسامد  $w$  و انرژی  $h$  بسامدهای جدیدی با انرژی  $W$  تولید می‌شود [۱]. در این قسمت، ریاضیات حاکم بر تولید هماهنگ دوم را بیان می‌کنیم. با در نظر گرفتن رابطه قطبش با پذیرفتاری غیرخطی مرتبه دوم [۱]:

$$P_i = e_0 c_{ijk}^{(2)} E_j E_k \quad (i, j, k = 1, 2, 3) \quad (3)$$

که در آن،  $i, j, k$  تانسور مرتبه سوم با ۲۷ عضو مستقل و  $1 \omega$  و  $k$  مؤلفه‌های متعدد هستند، اگر میدان فرودی را به صورت  $E(t) = E e^{-i\omega t} + c.c$  نشان دهیم، رابطه زیر را به دست خواهیم آورد [۱]:

$$P^2(t) = e_0 2 c^{(2)} E E^* + (c^{(2)} E^2 e^{-2\omega t} + c.c) \quad (4)$$

اگر فرض کنیم میدان گُندتغییر باشد و در راستای Z بلور غیرخطی انتشار یابد، پس از حل معادله موج برای این میدان به معادلات جفت‌شده زیر می‌رسیم:

$$\frac{dE_w}{dz} = \frac{2i w^2 d_{eff}}{k_w c^2} E_w^* E_{2w} e^{-ikz} \quad (5)$$

$$\frac{dE_{2w}}{dz} = \frac{2i(2w)^2 d_{eff}}{k_{2w} c^2} E_w^2 e^{ikz} \quad (6)$$

که در آن،  $Dk$  تطبیق فازی است که به صورت زیر بیان می‌شود:

$$Dk = 2k_w - k_{2w} \quad (7)$$

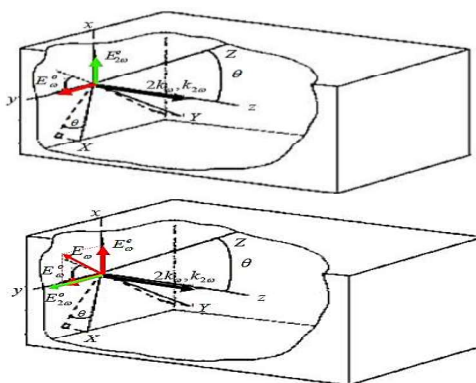
در این رابطه،  $k_w$  بردار موج میدان فرودی و  $k_{2w}$  بردار موج هماهنگ<sup>۱</sup> دوم تولید شده است. جمله  $\Delta k$  نقش اساسی در بازدهی تبدیل فرایندهای غیرخطی دارد. اغلب رسیدن به شرط تطبیق فاز  $\Delta k = 0$  به دلیل بروز اثر پاشندگی ضریب شکست که «پاشندگی معمولی» نامیده می‌شود، مشکل است. اصولاً رسیدن به شرط تطبیق فاز با استفاده از پاشندگی نابهنجار یعنی کاهش ضریب شکست با افزایش بسامد که در نزدیکی خط جذب روی می‌دهد، ممکن می‌شود. اما متدائل‌ترین کار، استفاده از بلورهای دارای خاصیت دوشکستی است [۱]. اگر بتوان ضریب شکست پرتو اولیه ( $n_{\omega}$ ) و هماهنگ تولید شده ( $n_{n\omega}$ ) را مساوی کرد، می‌توان به بازدههای عالی برای تولید هماهنگ دست یافت. با انتخاب مناسب جهت انتشار و قطبش پرتو، می‌توان شروط دست‌یابی به بازدهی خوب را به دو روش تطبیق فاز زاویه‌ای و دمایی تقسیم کرد [۲۲]. برای داشتن تطبیق فاز باید سرعت انتشار موج اولیه و هماهنگ دوم با هم مساوی باشد، بنابراین [۲۲]:

$$c_w = \frac{c_0}{n_w} = \frac{c_0}{n_{2w}} = c_{2w} \quad (8)$$

و از آنجا تطبیق فاز به صورت [۲۲]:

$$\Delta k = 2k_w - k_{2w} = \frac{4p}{l_0} (n_w - n_{2w}) \quad (9)$$

تعریف می‌شود، که  $n_{\omega}$  ضریب شکست در پرتو اولیه و  $n_{2\omega}$  ضریب شکست در هماهنگ دوم تولید شده است [۲۲]. دسته‌بندی دیگری که می‌توان برای تطبیق فازی انجام داد، بر اساس نوع قطبش امواج است و بدین صورت است: تطبیق فاز نوع I (دو موج فرودی دارای قطبش یکسان) و تطبیق فاز نوع II (دو موج فرودی دارای قطبش عمود) (شکل ۲) [۲۲].



شکل ۲ طرحی از جهت‌های انتشار و قطبش امواج اولیه و هماهنگ<sup>۱</sup> دوم در حالت تطبیق فاز نوع I (ooe<sup>۱</sup>) و نوع II (eo0 یا oeo) (تصویر راست) [۲۲].

<sup>۱</sup> o: ordinary wave; e: extraordinary wave

## ۲۴ / شبیه‌سازی تولید هماهنگ‌های دوم و چهارم لیزر تیپ Nd:YAG با استفاده از بلورهای غیرخطی: ...

در واقع تطبیق فاز دور از حالت آرمانی است. به این معنی که واگرایی، تک طول موج بودن و دمای بلور در تولید هماهنگ نسبت به شرایط اولیه یکسان باقی نخواهد ماند. بنابراین، باید پارامترهای مؤثر در تولید هماهنگ بررسی و محاسبه شوند. این پارامترها پهنهای نوار زاویه‌ای، پهنهای نوار طیفی و پهنهای نوار دمایی می‌باشند [۲۲]. مقدار  $\Delta K$  تابعی از دمای بلور  $T$ ، فرکانس موج برهمنش  $v$ ، انحراف از زاویه تطبیق فازی  $\theta$  است. وابستگی  $\Delta K$  به این پارامترها با تقریب مرتبه اول به صورت زیر است:

$$DK(T, dq, u) = DK(0) + g_v dq + g_u du \quad (10)$$

که در آن،  $DK(0)$  را عدم تطابق فازی می‌نامند.  $T$  و  $\theta$  و  $v$  را به ترتیب، حساسیت دمایی و زاویه‌ای و بسامدی می‌گوییم که با روابط زیر بیان می‌شوند [۲۶-۲۲]:

$$g_{ang} = 1.772 \frac{p}{LDq} \quad (11)$$

$$g_{temp} = 1.772 \frac{p}{LD T} \quad (12)$$

$$g_{freq} = 1.772 \frac{p}{LD u} \quad (13)$$

در این رابطه‌ها،  $\Delta\theta$  و  $\Delta v$  و  $\Delta T$  به ترتیب پهنهای نوار زاویه‌ای و بسامدی و دمایی می‌باشند و  $L$  طول بلور غیرخطی است. بازدهی تبدیل در فرایند تولید هماهنگ عبارت است از نسبت شدت پرتوهای هماهنگ ایجاد شده به پرتوهای اولیه، یعنی  $I_{HG}/I_{FW} = h$ . حداکثر بازده در حداقل عدم تطبیق بردار موج  $\Delta k=0$  میسر است و با افزایش  $k$  بازدهی تبدیل نیز کاهش می‌یابد. مطالعه این پارامتر برای تولید هماهنگ دوم، توسط افراد زیادی به صورت تحلیلی [۱، ۲۷-۲۸] و عددی [۳۲-۳۱] و آزمایشگاهی [۳۴-۳۳] انجام شده است. در این موارد، در نظر گرفتن میرایی موج اولیه (dE<sub>w</sub>/dz ≠ 0) و همچنین عدم تطبیق فاز ( $\Delta k ≠ 0$ ) برای توصیف پدیده‌های تجربی الزامی است. آرمسترانگ و همکاران [۲۷] معادله نهایی بازده را با حل تحلیلی معادلات جفت‌شده (۵ و ۶)، با درنظر گرفتن عدم تطبیق فازی و همچنین میرایی پرتو اولیه حل کردند (معادله ۴)، که این معادله بدین صورت است [۳۵]:

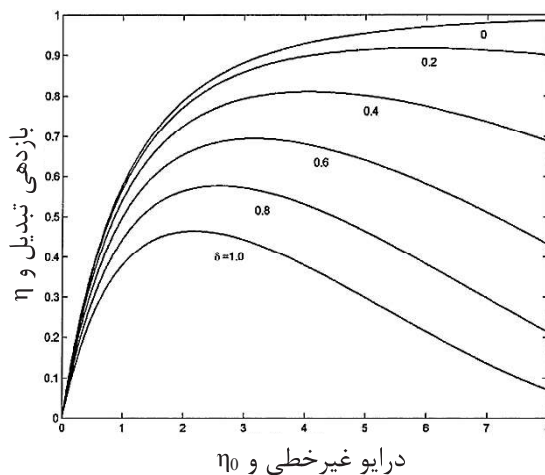
$$h = h_m sn^2[\sqrt{h_0/h_m}, h_m] \quad (14)$$

که در آن [۳۵]:

$$h_m = 1 + (d^2/2h_0) - \sqrt{[1 + (d^2/2h_0)^2] - 1} \quad (15)$$

$$d = D k L / 2$$

و  $sn[u, m]$  تابع بیضوی ژاکوبی با شناسه  $u$  و پیمانه نوسانات  $m$  است.



شکل ۳ بازدهی تبدیل هماهنگ دوم به صورت تابعی از درایو غیرخطی [۸].

به طور کلی بازدهی تبدیل در رابطه ۱۴ بر حسب دو متغیر  $\eta_0$  و  $\delta$  است که  $\eta_0 = (5.46 d_{eff}/\lambda_\omega n_\omega)^{3/2} I_\omega L^2$  و  $\delta$  همان تطبیق فازی است.  $I_\omega$  شدت پرتو فرودی و  $L$  طول بلور است. شکل (۳) تغییرات بازدهی تبدیل بر حسب  $\eta_0$  برای مقادیر مختلف  $\delta$  را نشان می‌دهد. وقتی تطبیق فاز کامل داریم، تبدیل پرتو اولیه به هماهنگ تولید شده در بیشینه حالت ممکن قرار دارد. هرگاه عدم تطبیق فاز و میرایی موج اولیه برقرار باشند، بازدهی تولید هماهنگ با افزایش  $\eta_0$  زیاد شده تا به یک مقدار بنهینه برسد، پس از آن تبدیل بازگشتی موجب کاهش بازده می‌شود [۸].

### ۳. بلورهای غیرخطی به کاررفته در هماهنگ دوم

#### ۳-۱ بلور KTP

بلور پتانسیم تیتانیل فسفات (KTP: KTiOPO<sub>4</sub>) یکی از مواد اپتیکی غیرخطی منحصر به فرد است که به طور وسیعی برای تولید هماهنگ دوم در لیزرهای نئومیوم استفاده می‌شود. از ویژگی‌های مهم این بلور، ضربی غیرخطی مؤثر عالی، پهنانی نوار پذیرش زاویه‌ای زیاد، پهنانی نوار طیفی خوب، پهنانی نوار دمایی زیاد، زاویه walk-off کوچک، آستانه تخریب بزرگ، پایداری شیمیایی و مکانیکی خوب را می‌توان نام برد [۳۶].

۲۶ / شبیه‌سازی تولید هماهنگ‌های دوم و چهارم لیزر تیبی Nd:YAG با استفاده از بلورهای غیرخطی: ...

### جدول ۱ ویژگی‌های اپتیکی بلور KTP برای تولید هماهنگ دوم لیزر Nd:YAG

با طول موج  $1064\text{ نانومتر } [36, 24-22]$

پارامتر	مقدار	پارامتر	مقدار
زوایای تطبیق فاز نوع II (دما) کلوبین)	$\theta_{PM}=90^\circ$ $\varphi_{PM}=35^\circ$	ضریب غیرخطی مؤثر $((Pm/V))_{eff}$	$3,18$
زاویه walk-off	$0,26^\circ$	پذیرفتاری زاویه‌ای $(L\Delta\theta(mrad, cm))$	$15,9$
( $L\Delta\lambda(cm, nm)$ )	$0,56$	پذیرفتاری طیفی $(L\Delta T(cm \cdot ^\circ C))$	$25$
$(\alpha(cm^{-1}))$	$0,005$	ضریب جذب خطی $(\beta_0(1/m))$	$0,01 \times 10^8$
$\beta_1(s/m)$	$0,5 \times 10^{-8}$	پاشندگی مرتبه دوم $(\beta_2(fs^2/mm))$	$118,69$
پارامتر ( $I_{thr}(GW/cm^2)$ )	$0,349$	شدت آستانه <sup>۱</sup>	$2-3$

از معایب این بلور می‌توان از پدیده‌ای نام برد که به Grey tracking معروف است. پهنهای نوار دمایی فوق العاده این بلور موجب پایداری انرژی تپی پرتو تولید شده می‌شود. هم‌چنین، کوچک بودن زاویه walk-off آن امکان استفاده از طول‌های بیشتر این بلور را نسبت به بلورهای دیگر فراهم می‌کند [۳۶]. ویژگی‌های اپتیکی این بلور در تولید هماهنگ دوم لیزر Nd:YAG در جدول (۱) آمده است [۱۰، ۲۴-۲۲].

## ۲-۳ بلور BBO

بلور بتا باریم بورات (BBO:  $-BaB_2O_4$ ) بلور تک محوره منفی با گروه تقارنی  $3m$  است. این بلور نیز جزء یکی از مهم‌ترین بلورهای غیرخطی به شمار می‌آید [۲۵] و یکی از رایج‌ترین بلورها در تولید امواج فرابنفش و مرئی است. ویژگی‌های اپتیکی این بلور شامل ضریب غیرخطی عالی، آستانه تحریب بزرگ، پهنهای پذیرش دمایی عالی، همگنی اپتیکی خوب، پذیرفتاری زاویه‌ای کم، زاویه walk-off بزرگ، نمک‌گیری و نرمی سطح است.

<sup>۱</sup> شدت آستانه برای لیزر پالسی  $10^{10}$  هرتز با پهنهای زمانی  $10^{-10}$  نانوثانیه

## جدول ۲ ویژگی‌های اپتیکی بلور BBO برای تولید هماهنگ دوم لیزر Nd:YAG

با طول موج  $1064\text{ نانومتر } [36, 24-22]$

مقدار	پارامتر	مقدار	پارامتر
$\theta_{PM}=22,8$ $\varphi_{PM}=0$	زوایای تطبیق فاز نوع I (دماهی ۲۹۳ کلوین)	۱,۹۴	ضریب غیرخطی مؤثر $(Pm/V)$ $d_{eff}$
۰,۸۴: I ۱,۲۵: II	پذیرفتاری زاویه‌ای $(L\Delta\theta(mrad.cm))$	$\theta_{PM}=22,4$ $\varphi_{PM}=20$	زوایای تطبیق فاز نوع II (دماهی ۲۹۳ کلوین)
۲,۷: نوع I ۳,۲: نوع II	walk-off $\rho(\text{deg})$	۵۵	پذیرفتاری دمایی $(L\Delta T(\text{cm}.\text{^oC}))$
کمتر از ۰,۰۰۱	ضریب جذب خطی $(\alpha(\text{cm}^{-1}))$	۰,۶۶: نوع I ۱,۰۲: نوع II	پذیرفتاری طیفی $(L\Delta\lambda(\text{nm.cm}))$
$0,55 \times 10^{-8}$	پاشندگی مرتبه اول $(\beta_1(\text{s/m}))$	$0,009 \times 10^{-9}$	پاشندگی مرتبه صفرم $(\beta_0(\text{s/m}))$
نوع I: ۶,۶۱ نوع II: ۴,۴۴	پارامتر $\beta_0/n_0(1/\text{mrad.cm})$	۳۸,۵۳۶	پاشندگی مرتبه دوم $\beta_2(\text{fs}^2/\text{mm})$
		۲-۳	شدت آستانه $(I_{thr}(\text{GW/cm}^2))$

با توجه به نمودار، این بلور باید در محیطی خشک نگهداری شود و محیطی مناسب جهت جلوگیری از آسیب برای آن فراهم کرد. هنگام استفاده از این بلور، با توجه به پذیرفتاری زاویه‌ای کم و بزرگ بودن زاویه walk-off، باید از لیزرهایی با کیفیت اپتیکی خوب جهت تابش بر این بلور استفاده کرد، که واگرایی کمی دارند، چرا که در غیر این صورت بازدهی خوبی به دست نخواهد آمد. تطابق فازی (در بخش ۳ معرفی شده است) نوع I و II برای BBO امکان‌پذیر است. ویژگی‌های اپتیکی این بلور در تولید هماهنگ دوم لیزر Nd:YAG در جدول (۲) [۱۰، ۳۶، ۲۴-۲۲] آمده است.

## ۳-۳ بلور LBO

بلور لیتیوم تری بورات (LBO:  $\text{LiB}_3\text{O}_5$ ) در قیاس با BBO برای تولید هماهنگ دوم در تابش فروسرخ نزدیک و برای OPO در ناحیه نور مرئی و فروسرخ نزدیک کاربرد دارد. این بلور از خروجی پایدارتر نسبت به KTP برخوردار است زیرا اثر Gray tracking ندارد.

۲۸ / شبیه‌سازی تولید هماهنگ‌های دوم و چهارم لیزر تپی Nd:YAG با استفاده از بلورهای غیرخطی ...

### جدول ۳ ویژگی‌های اپتیکی بلور LBO برای تولید هماهنگ دوم لیزر Nd:YAG

با طول موج  $1064\text{ نانومتر } [36, 24-22, 10]$

مقدار	پارامتر	مقدار	پارامتر
$\theta_{PM}=90^\circ$ $\varphi_{PM}=117^\circ$	زاویای تطبیق فاز نوع I (دماهی کلوبین)	$\theta_{PM}=20^\circ$ $\varphi_{PM}=90^\circ$	زاویای تطبیق فاز نوع II (دماهی کلوبین)
نوع I: $0.6^\circ$ نوع II: $0.12^\circ$	$\rho(\text{deg})$ walk-off زاویه	$1.16$	ضریب غیرخطی مؤثر $(Pm/V)/d_{eff}$
نوع I: $1^\circ$ نوع II: $1.3^\circ$	پذیرفتاری طیفی $(L\Delta\lambda(\text{nm.cm}))$	نوع I: $8.5^\circ$ نوع II: $15.2^\circ$	پذیرفتاری زاویه‌ای $(L\Delta\theta(\text{mrad.cm}))$
$0/00035$	ضریب جذب خطی $(\alpha(\text{cm}^{-1}))$	$5$	پذیرفتاری دمایی $(L\Delta T(\text{cm.}^\circ\text{C}))$
$0.52 \times 10^{-8}$	پاشندگی مرتبه اول $(\beta_1(\text{s/m}))$	$0.009 \times 10^{-9}$	پاشندگی مرتبه صفرم $(\beta_0(1/\text{m}))$
نوع I: $0.65^\circ$ نوع II: $0.36^\circ$	پارامتر $\beta_0/n_0(1/\text{mrad.cm})$	$15.274$	پاشندگی مرتبه دوم $(\beta_2(fs^2/\text{mm}))$
		$0.9$	شدت آستانه $(I_{thr}(\text{GW/cm}^2))$

بلور LBO ویژگی‌های اپتیکی همچون: پهنهای شفافیت زیاد ( $150\text{ نانومتر تا }1.6\text{ میکرومتر}$ ), ضریب غیرخطی عالی، آستانه تخریب بزرگ، زاویه walk-off بسیار کوچک، پذیرش زاویه‌ای بزرگ، همگنی نوری خوب، ناحیه تطبیق فازی نوع I و II ( $95^\circ$  میکرومتر تا  $1.8^\circ$  میکرومتر) دارد. به دلیل بزرگ بودن ضریب غیرخطی و آستانه تخریب و همچنین زاویه walk-off بسیار کوچک و پذیرش زاویه‌ای بزرگ، این بلور برای تولید هماهنگ دوم لیزرها استفاده می‌شود. ویژگی‌های اپتیکی این بلور در تولید هماهنگ دوم لیزر Nd:YAG در جدول (۳)  $[36, 24-22, 10]$  آمده است.

### ۴. نتایج شبیه‌سازی تولید هماهنگ دوم

در این بخش، تولید هماهنگ دوم Nd:YAG را برای بلورهای KTP و BBO و LBO بررسی و شبیه‌سازی می‌کنیم. لیزر فروودی به بلور غیرخطی ما لیزر تپی با شکل تپ پرتتو گاؤسی و طول موج  $1064\text{ نانومتر}$ ، چگالی انرژی ۱ ژول در سانتی متر مربع، پهنهای زمانی تپ  $10\text{ نانوثانیه}$  است. با توجه

به این ویژگی‌های لیزر فرودی، در ابتدا دو پدیده مهم پراش و پاشندگی را برای پرتو فرودی به بلور غیرخطی بررسی می‌کنیم. لازم است ذکر کنیم که تمام شبیه‌سازی‌های موجود در این مقاله با استفاده از نرم‌افزار متلب انجام شده است. رابطه پراش برای پرتو لیزری با شاعر  $e^{-\pi n_0 L}$  و طول موج  $\lambda_0$  که در یک بلور غیرخطی با ضریب شکست خطی  $n_0$  در حال انتشار است، از رابطه زیر محاسبه می‌شود [۳۷]:

$$L_{diff} = \frac{p(1/eV_0)n_0}{I_0} \quad (16)$$

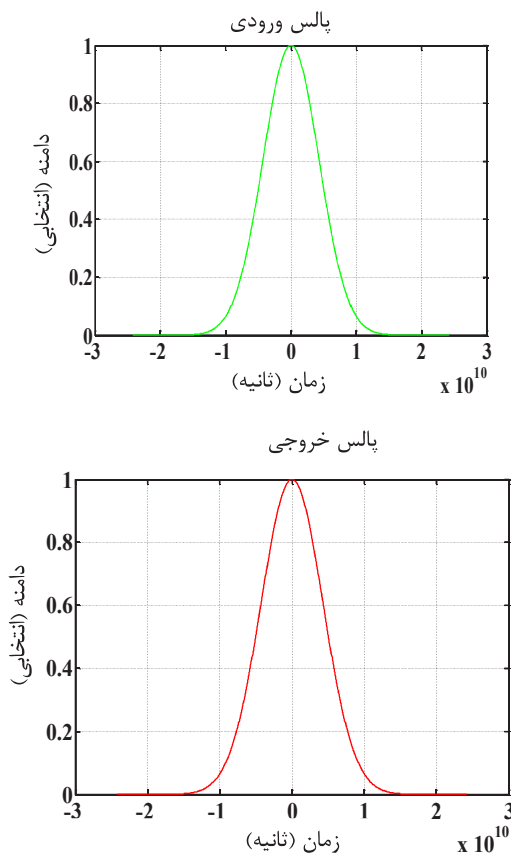
اگر ضخامت بلور کمتر از طول پراش باشد، پراش پرتو از طریق بلور نادیده گرفتی است. اگر ضخامت نمونه بزرگتر از  $L_{diff}$  باشد، پراش پرتو چشمگیر است. با توجه به رابطه فوق و با انجام محاسبات طول پراش برای یک بلور غیرخطی، برای مثال KTP (جدول ۱)، ۴ متر خواهد بود. با توجه به آنکه طول بلور به طور متداول از مرتبه سانتی‌متر است، این اثر نیز ناچیز است. اثر دیگری که بررسی می‌شود، اثر پاشندگی است. طول پاشندگی پرتو در داخل بلور از طریق رابطه زیر محاسبه می‌شود [۲]:

$$L_{dis} = 2t^2 \left[ \left( \frac{k^2}{W^2} \right)_{w=w_0} \right]^{-1} \quad (17)$$

که در آن،  $t$  پهنه‌ای زمانی تپ و  $w_0$  بسامد نور روانه شده به بلور است. زمانی که  $L_{dis}$  باشد، آثار پاشندگی تپ مهم خواهد شد. با توجه به مقادیر پاشندگی مرتبه دوم یعنی پاشندگی سرعت گروه برای هر یک از ۳ بلور که در جداول (۱ تا ۳) آمده‌اند، به این نتیجه می‌رسیم که آثار پاشندگی نیز نادیده گرفتی است. با وجود این، ما آثار پاشندگی را برای تپ ۱۰ نانوثانیه با استفاده از روش فوریه تقسیم گام<sup>۱</sup> بررسی کردی‌ایم. نتیجه شبیه‌سازی اثر پاشندگی در شکل (۴) آمده است که با توجه به این شکل، پاشندگی اثری در تپ ۱۰ نانوثانیه نخواهد گذاشت. بعد از مطمئن شدن از عدم بازدهی آثار پراش و پاشندگی بر روی تپ ۱۰ نانوثانیه، بازدهی تبدیل هماهنگ دوم لیزر Nd:YAG با استفاده از بلورهای KTP و BBO و LBO را در چیدمان برون کاواکی مفروض بررسی می‌کنیم. در خور ذکر است که افزایش دمای بلور در نتیجه نرخ تکرار تپ ورودی لحاظ شده است.

<sup>۱</sup> Split-Step Fourier Method

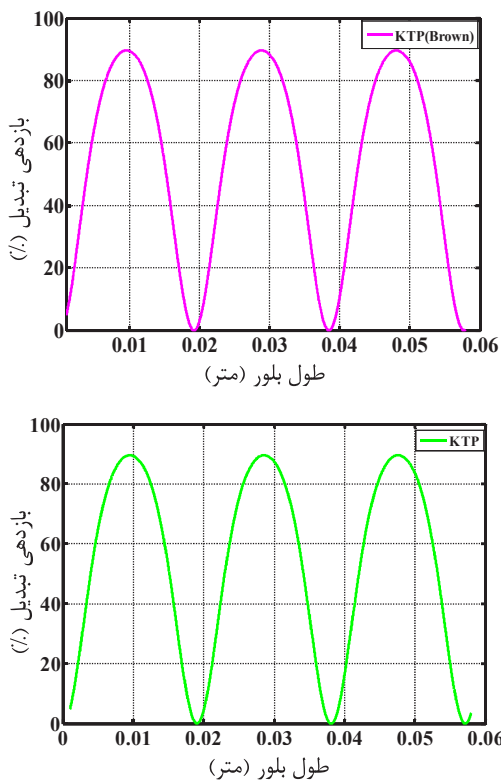
۳۰ / شبیه‌سازی تولید هماهنگ‌های دوم و چهارم لیزر تپی Nd:YAG با استفاده از بلورهای غیرخطی: ...



شکل ۴ اثر پاشندگی در تپ ۱۰ نانو ثانیه.

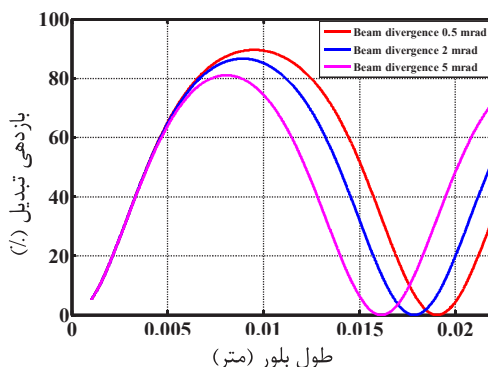
#### ۱-۴ بلور KTP

شکل (۵) بازدهی تولید هماهنگ دوم را بر حسب طول بلور KTP به تصویر می‌کشد. در این شکل، زاویه واگرایی لیزر  $5,0^{\circ}$  میلی‌رادیان و افزایش دمای ۲ درجه سلسیوس لحاظ شده است. مطابق با این نمودار، بازدهی بلور در طول‌های  $9,5$  میلی‌متر،  $28$  میلی‌متر و  $47$  میلی‌متر بیشینه و دارای مقدار  $89,59$  درصد است، که سازگاری خوبی با یکی از پژوهش‌های انجام شده توسط براون و همکاران [۱۱] دارد. در این مقاله، محقق از لیزر ورودی با انحراف قله  $980$  میلی‌ژول، زاویه واگرایی  $45,0^{\circ}$  میلی‌رادیان و نرخ تکرار تپ  $10$  هرتز استفاده کرده است. مقدار بازدهی به دست آمده در این مقاله  $80$  درصد گزارش شده است که با انجام شبیه‌سازی‌های لازم مقدار بازدهی  $87,5$  درصد به دست آمد که با توجه شبیه‌سازی بودن نتایج و نزدیک بودن مقادیر نرخ تکرار، توان ورودی و نیز زاویه واگرایی، مطابقت بسیار خوبی حاصل شده است.



شکل ۵ بازدهی تولید هماهنگ دوم بر حسب طول بلور KTP: نتایج شیوه‌سازی (تصویر بالا) و نیز شیوه‌سازی پژوهش آزمایشگاهی براون و همکاران با مشخصات لیزر با چگالی انرژی ۱ رول در سانتی‌متر مربع و زاویه واگرایی ۰,۵ میلی‌رادیان و نرخ تکرار ۱۰ هرتز (تصویر پایین) [۱۱].

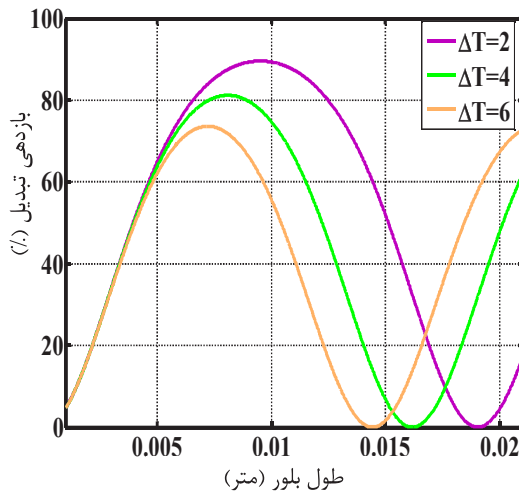
شکل (۶) بازدهی بلور KTP را باللحاظ کردن زوایای واگرایی نشان می‌دهد.



شکل ۶ بازدهی تولید هماهنگ دوم بر حسب طول بلور KTP با در نظر گرفتن زوایای واگرایی ۰,۵ میلی‌رادیان، ۲ میلی‌رادیان، ۵ میلی‌رادیان.

## ۳۲ / شبیه‌سازی تولید هماهنگ‌های دوم و چهارم لیزر تپی Nd:YAG با استفاده از بلورهای غیرخطی: ...

لیزر ۵٪ میلی‌رادیان، ۲ میلی‌رادیان و ۵ میلی‌رادیان به تصویر می‌کشد که در آن افزایش دمای ایجادشده ۲ درجه سلسیوس در بلور لحاظ شده است. مطابق با این نمودار، با افزایش زاویه واگرایی بازدهی تولید هماهنگ دوم کاهش می‌یابد و دلیل آن افزایش عدم تطابق فازی است. به دلیل پذیرفتاری زاویه‌ای عالی این بلور، این کاهش شدید (تا ۸۰ درصد) نیست. به عنوان یک نتیجه، هر قدر کیفیت پرتو فرودی بیشتر باشد، بازدهی تولید هماهنگ نیز بیشتر خواهد بود. شکل (۷) بازدهی بلور KTP را این بار بالحاظ کردن افزایش دمای ۲ و ۴ و ۶ درجه سلسیوس نمایش می‌دهد و زاویه واگرایی لیزر نیز ۵٪ میلی‌رادیان در نظر گرفته شده است.

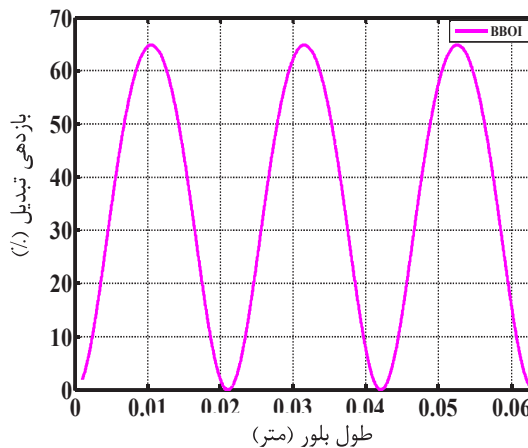


شکل ۷ بازدهی تولید هماهنگ دوم بر حسب طول بلور KTP با در نظر گرفتن افزایش دمای بلور ۲ و ۴ و ۶ درجه سلسیوس.

افزایش دمای بلور افزایش عدم تطابق فازی و در نتیجه کاهش بازدهی تولید هماهنگ دوم تا مقدار ۷۲ درصد را در پی خواهد داشت.

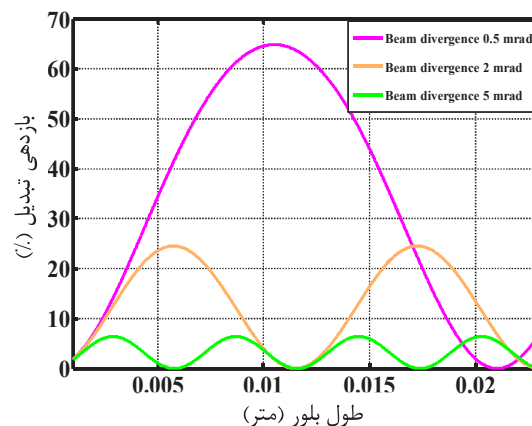
## ۲-۴ بلور BBO

شکل (۸) بازدهی تولید هماهنگ دوم بر حسب طول بلور BBO با تطابق فاز از نوع I (BBOI) را نشان می‌دهد که در آن، زاویه واگرایی لیزر ۵٪ میلی‌رادیان و افزایش دمای ۲ درجه سلسیوس اعمال شده است. مطابق با این نمودار بازدهی بلور در طول‌های ۱۰ میلی‌متر و ۳۱ میلی‌متر و ۵۲ میلی‌متر بیشینه و مقدار ۶۴,۸۵ درصد دارد.



شکل ۸ بازدهی تولید هماهنگ دوم برحسب طول بلور .BBOI

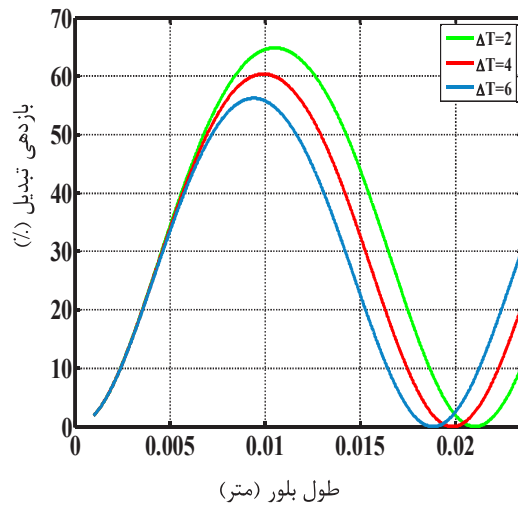
شکل ۹، بازدهی تولید هماهنگ دوم را با لحاظ کردن زوایای و اگرایی لیزر  $0.5$  میلی رادیان،  $2$  میلی رادیان و  $5$  میلی رادیان و نیز افزایش  $2$  درجه سلسیوس دمای بلور به تصویر می کشد. مطابق با این نمودار با افزایش زاویه و اگرایی، بازدهی تولید هماهنگ دوم به صورت چشمگیری تا  $7$  درصد کاهش می یابد و دلیل آن پذیرفتاری زاویه ای بسیار کم این بلور است. بنابراین، اگر بخواهیم در چیدمان آزمایشگاهی با این بلور کار کنیم، باید لیزر فرودی از کیفیت اپتیکی بسیار مطلوبی برخوردار باشد و زاویه و اگرایی کمی داشته باشد تا اینکه بازدهی خوبی به دست آید.



شکل ۹ بازدهی تولید هماهنگ دوم برحسب طول بلور BBOI با در نظر گرفتن زوایای و اگرایی  $0.5$  میلی رادیان،  $2$  میلی رادیان،  $5$  میلی رادیان،

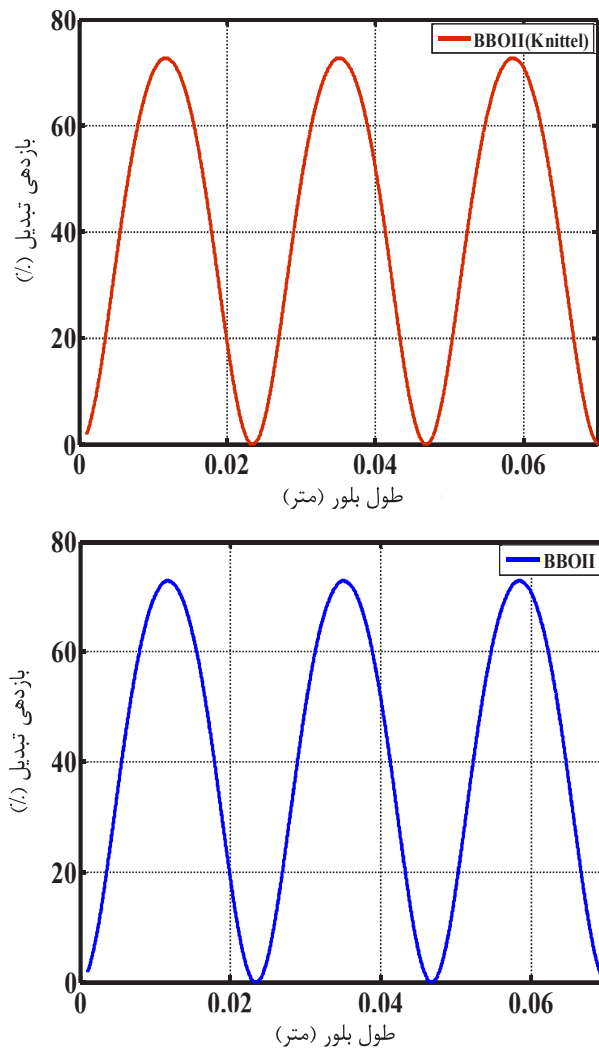
۳۴ / شبیه‌سازی تولید هماهنگ‌های دوم و چهارم لیزر تپی Nd:YAG با استفاده از بلورهای غیرخطی: ...

شکل (۱۰)، بازدهی تولید هماهنگ دوم را بر حسب طول بلور BBOI با لحاظ کردن تغییرات دمای ۲، ۴ و ۶ درجه سلسیوس نمایش می‌دهد. با توجه به این شکل، افزایش دما به دلیل پذیرفتاری دمایی مناسب و بالای این بلور بازدهی چشمگیری در بازدهی خروجی تولید هماهنگ دوم (کاهش بازدهی تا مقدار ۵۶ درصد) ندارد.



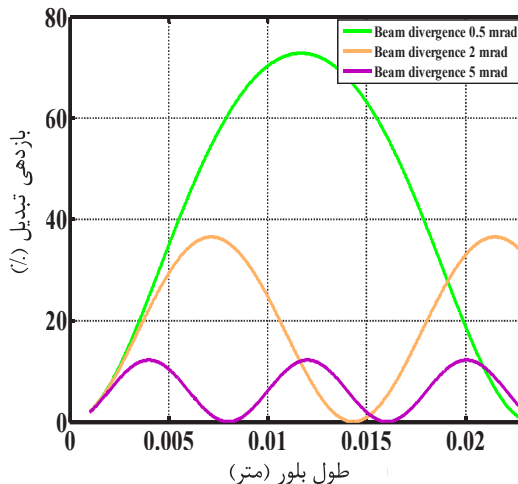
شکل ۱۰ بازدهی تولید هماهنگ دوم بر حسب طول بلور BBOI با در نظر گرفتن افزایش دمای بلور ۲ و ۴ و ۶ درجه سلسیوس.

از بلور BBOII نیز به عنوان بلوری پر کاربرد به منظور تولید هماهنگ دوم لیزر Nd:YAG استفاده می‌کنند. بازدهی بلور BBOII بر حسب طول بلور با در نظر گرفتن زاویه واگرایی لیزر  $0/5$  میلی‌رادیان و افزایش دمای ۲ درجه سلسیوس به صورت شکل (۱۱) است. مطابق با این نمودار، بازدهی بلور در طول‌های ۱۱ میلی‌متر و ۳۵ میلی‌متر و ۵۸ میلی‌متر بیشینه بوده و دارای مقدار  $72/84$  درصد است که این مقدار بیشتر از بازدهی BBOI است. نتایج آزمایش بر این بلور سازگاری خوبی با یکی از پژوهش‌ها توسط نایتل و همکاران [۳۸] برای بلور BBOII دارد. در این مقاله، از لیزر ورودی با انرژی قله  $331/5$  میلی‌ژول و زاویه واگرایی  $0/5$  میلی‌رادیان و نرخ تکرار  $30$  هرتز استفاده شده است. مقدار بازدهی به دست آمده در این مقاله  $70$  درصد گزارش شده است که با شبیه‌سازی‌های لازم مقدار بازدهی  $72/58$  درصد به دست آمد که تطابق خوبی با در نظر گرفتن توان و نرخ تکرار که مقداری نزدیک به  $1$  ژول است و نیز زاویه واگرایی  $0/5$  میلی‌رادیان حاصل شده است.



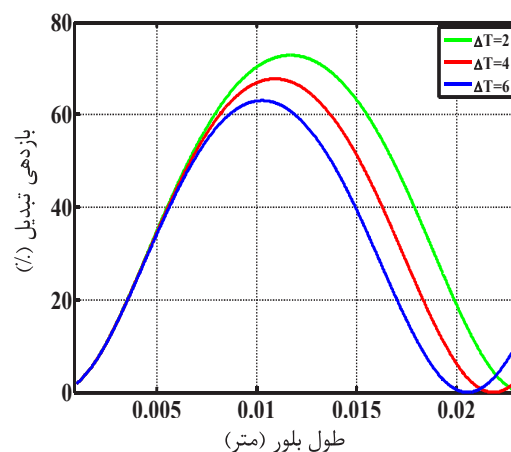
شکل ۱۱ بازدهی تولید هماهنگ دوم بر حسب طول بلور BBOII: نتایج شبیه‌سازی (تصویر بالا) و نیز شبیه‌سازی پژوهش آزمایشگاهی نایتل با مشخصات لیزر با انرژی قله ۳۳۱,۵ میلی‌ژول در سانتی‌متر مربع و زاویه واگرایی ۰,۵ میلی‌رادیان (تصویر پایین) [۳۸].

شکل ۱۲)، بازدهی تولید هماهنگ دوم را بر حسب طول بلور BBOII با لحاظ کردن زوایای واگرایی ۰,۵ میلی‌رادیان، ۲ میلی‌رادیان و ۵ میلی‌رادیان و نیز افزایش دمای ۲ درجه سلسیوس به تصویر می‌کشد. همانند BBOI، زاویه واگرایی نیز تأثیر چشمگیری در میزان بازدهی هماهنگ دوم بلور BBOII (کاهش بازدهی تا مقدار ۱۳ درصد) دارد.



شکل ۱۲ بازدهی تولید هماهنگ دوم بر حسب طول BBOII با در نظر گرفتن زوایای واگرایی  $0.5$ ،  $2$  میلی رادیان و  $5$  میلی رادیان.

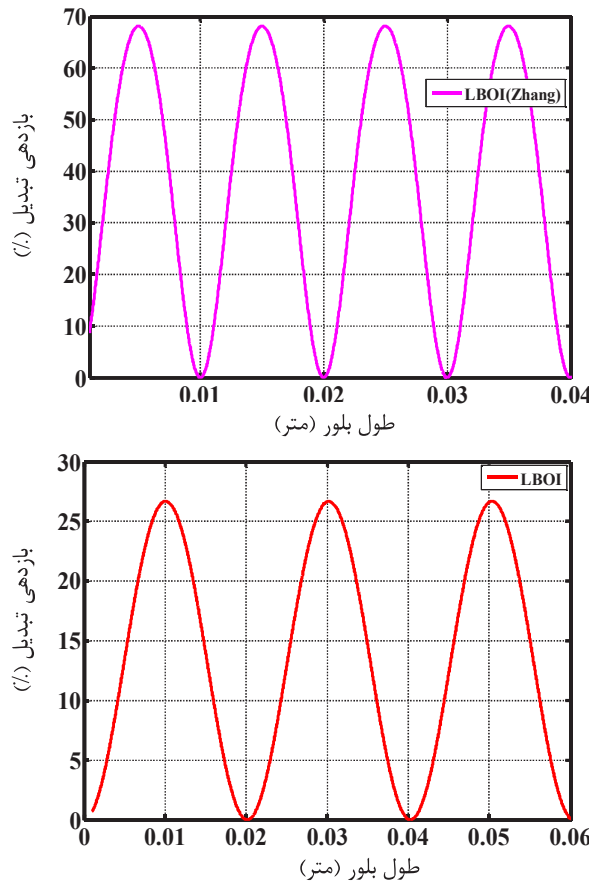
شکل (۱۳)، بازدهی تولید هماهنگ دوم را بر حسب طول بلور BBOII بالحاظ کردن افزایش دماهای  $2$  و  $4$  درجه سلسیوس نشان می‌دهد که در آن زاویه واگرایی لیزر  $0/5$  میلی رادیان در نظر گرفته شده است. اگر به مقدار بازدههای به دست آمده در شکل نگاه کنیم متوجه خواهیم شد که افزایش دمای بلور تأثیر زیادی در بازدهی این بلور در مقایسه با بلوری مانند KTP ندارد (کاهش تا  $62/5$  درصد) که این نیز به دلیل پذیرفتاری دمایی نسبتاً خوب این نوع بلور است.



شکل ۱۳ بازدهی تولید هماهنگ دوم بر حسب طول بلور BBOII با در نظر گرفتن افزایش دمای بلور  $2$  و  $4$  درجه سلسیوس.

### ۳-۴ بلور LBO

نمودارهای بازدهی بلور LBOI و نیز وابستگی این پارامتر به پارامترهای زاویه و اگرایی پرتو فرودی و نیز دمای بلور بر حسب طول بلور به ترتیب در شکل‌های (۱۴ و ۱۵ و ۱۶) آمده است. در شکل (۱۴)، زاویه و اگرایی لیزر  $5\%$  میلی‌رادیان و افزایش دمای  $2^\circ\text{C}$  سلسیوس لحاظ شده است.

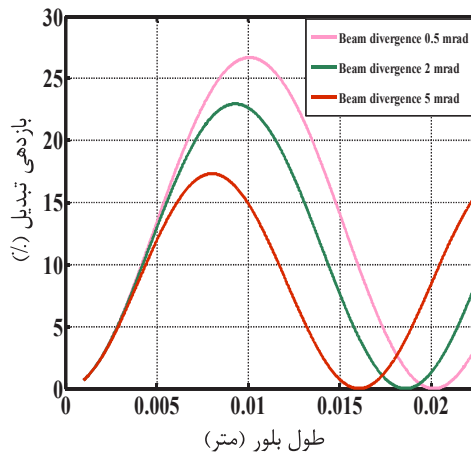


شکل ۱۴ بازدهی تولید هماهنگ دوم بر حسب طول بلور LBOI: نتایج شبیه‌سازی (تصویر بالا) و نیز شبیه‌سازی پژوهش آزمایشگاهی گروه ژانگ و همکاران [۱۴] با مشخصات لیزر با انرژی قله  $270\text{ mJ}$  و زاویه و اگرایی  $0.5^\circ\text{C}$  میلی‌رادیان (تصویر پایین).

مطابق با این نمودار بازدهی بلور در طول‌های  $10\text{ }\mu\text{m}$  و  $30\text{ }\mu\text{m}$  و  $50\text{ }\mu\text{m}$  بیشینه و مقدار  $26/69$  درصد را دارد. یکی از کارهای تجربی انجام شده با این بلور، متعلق به گروه ژانگ و همکاران [۱۴] است. در این مقاله، بازدهی  $53/4$  درصدی تبدیل تولید هماهنگ دوم با استفاده از

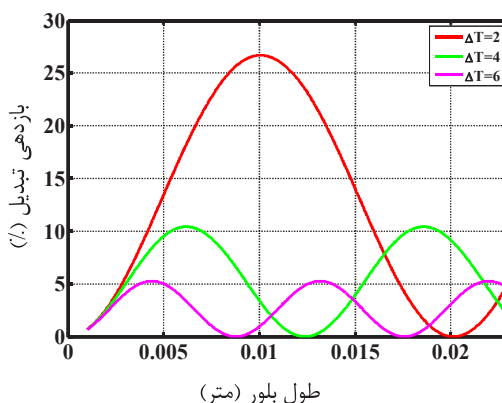
۳۸ / شبیه‌سازی تولید هماهنگ‌های دوم و چهارم لیزر تپی Nd:YAG با استفاده از بلورهای غیرخطی: ...

بلور LBOI به طول ۲۵ میلی‌متر گزارش شده است. لیزر استفاده شده با مشخصات انرژی قله ۲۷۰ میلی‌ژول، پهنه‌ای زمانی تپ ۵ نانوثانیه و نیز نرخ تکرار تپ ۵۰۰ هرتز معرفی شده است [۱۴].



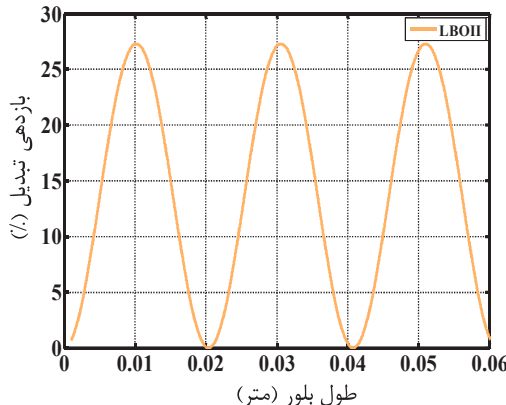
شکل ۱۵ بازدهی تولید هماهنگ دوم بر حسب طول LBOI با در نظر گرفتن زوایای واگرایی ۰/۵ میلی‌رادیان، ۲ میلی‌رادیان، ۵ میلی‌رادیان.

با شبیه‌سازی پارامترهای ورودی و در نظر گرفتن زاویه واگرایی ۰/۵ میلی‌رادیان در این پژوهش تجربی، بازدهی ۶۸/۱۲ درصدی به دست آمد که در شکل (۱۴) به نمایش در آمده است. شکل (۱۵)، بازدهی تولید هماهنگ دوم بر حسب طول بلور LBOI با لحاظ کردن واگرایی ۰/۵ میلی‌رادیان، ۲ میلی‌رادیان و ۵ میلی‌رادیان نمایش می‌دهد که در آن افزایش زاویه واگرایی ۵ میلی‌رادیان، کاهش بازدهی تا مقدار ۱۷ درصد را در پی خواهد داشت.



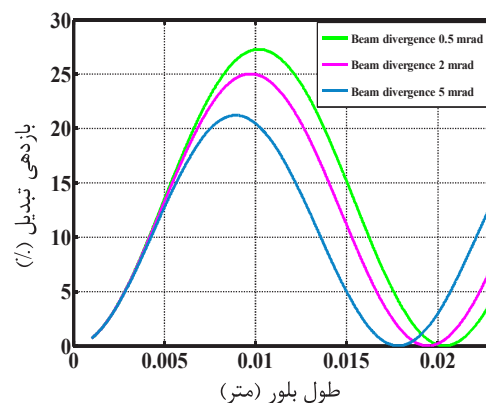
شکل ۱۶ بازدهی تولید هماهنگ دوم بر حسب طول بلور LBOI با در نظر گرفتن افزایش دمای بلور ۲ و ۴ و ۶ درجه سلسیوس.

شکل (۱۶) نیز بازدهی تولید هماهنگ دوم را بر حسب طول بلور LBOII با لحاظ کردن افزایش دمای ۲ و ۴ و ۶ درجه سلسیوس و زاویه واگرایی لیزر  $0/5$  میلی رادیان نمایش می‌دهد. مطابق با این نمودار با افزایش تغییرات دمایی، بازدهی تولید هماهنگ دوم به شکل چشمگیری تا ۵ درصد کاهش می‌یابد.



شکل ۱۷ بازدهی تولید هماهنگ دوم بر حسب طول بلور LBOII.

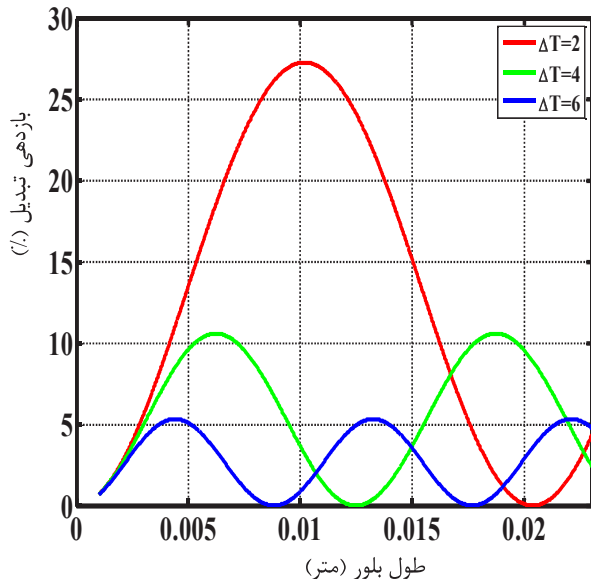
یکی دیگر از بلورهای مناسب برای تولید هماهنگ دوم لیزر Nd:YAG، بلور LBOII است. بازدهی بلور LBOII بر حسب طول بلور به صورت شکل (۱۷) است. در این شکل، زاویه واگرایی لیزر  $0/5$  میلی رادیان و افزایش دمای ۲ درجه سلسیوس لحاظ شده است. مطابق با این نمودار، بازدهی بلور در طولهای ۱۰ میلی متر و ۳۰ میلی متر بیشینه و دارای مقدار  $27/30$  درصد است.



شکل ۱۸. بازدهی تولید هماهنگ دوم بر حسب طول بلور LBOII با در نظر گرفتن زوایای واگرایی  $5/0$  میلی رادیان،  $2$  میلی رادیان و  $5$  میلی رادیان.

۴۰ / شبیه‌سازی تولید هماهنگ‌های دوم و چهارم لیزر تبی Nd:YAG با استفاده از بلورهای غیرخطی: ...

شکل (۱۸) بازدهی تولید هماهنگ دوم بلور LBOII را با لحاظ کردن زوایای واگرایی لیزر ۵/۰ میلی‌رادیان و ۲ میلی‌رادیان و ۵ میلی‌رادیان و نیز افزایش دمای ۲ درجه سلسیوس به تصویر می‌کشد. افت بازدهی این بلور در مقایسه با بلورهای LBOI و به خصوص بلورهای BBOI و BBOII کمتر است، که نشان از پذیرفتاری زاویه‌ای بهتر این بلور دارد. شکل (۱۹) بازدهی تولید هماهنگ دوم را بر حسب طول بلور LBOII با لحاظ کردن افزایش دمای ۲ و ۴ و ۶ درجه سلسیوس و نیز زاویه واگرایی لیزر ۵/۰ میلی‌رادیان نشان می‌دهد. همانند سایر بلورها، با افزایش تغییرات دمایی، بازدهی تولید هماهنگ دوم کاهش می‌یابد و این تغییر نیز همانند نوع I این بلور، به دلیل پذیرفتاری دمایی اندک این بلور چشمگیر است.



شکل ۱۹. بازدهی تولید هماهنگ دوم بر حسب طول LBOII با افزایش دمای بلور ۲، ۴ و ۶ درجه سلسیوس.

## ۵. بلورهای غیرخطی به کار رفته در هماهنگ چهارم

### ۱-۵ بلور BBO

ویژگی‌های اپتیکی بلور BBO در تولید هماهنگ چهارم لیزر Nd:YAG در جدول (۴) آمده است [۱۰، ۲۲-۲۴].

#### جدول ۴ ویژگی‌های اپتیکی بلور BBO برای تولید هماهنگ چهارم لیزر Nd:YAG

با طول موج  $1064\text{ نانومتر } [36, 24-22]$

مقدار	پارامتر	مقدار	پارامتر
$\theta_{PM} = 47/3$ $\varphi_{PM} = 0$	زاویای تطبیق فاز نوع I (دما <sub>ی</sub> کلوبین)	$293$ $1,75$	ضریب غیرخطی مؤثر (( $Pm/V$ )) $d_{eff}$
$0,3$ :I $0,45$ :II	پذیرفشاری زاویه‌ای ( $L\Delta\theta(\text{mrad.cm})$ )	$\theta_{PM} = 81$ $\varphi_{PM} = 0$	زاویای تطبیق فاز نوع II (دما <sub>ی</sub> کلوبین)
$4,9$ :I $5,3$ :II	زاویه walk-off $\rho(\text{deg})$	$4,5$	پذیرفشاری دمایی ( $L\Delta T(\text{cm.}^{\circ}\text{C})$ )
کمتر از $0,01$	ضریب جذب خطی (( $\alpha(\text{cm}^{-1})$ ))	$0,45$ $0,69$	پذیرفشاری طیفی ( $L\Delta\lambda(\text{nm.cm})$ )
$0,57 \times 10^{-8}$	پاشندگی مرتبه اول ( $\beta_1(\text{s/m})$ )	$0,009 \times 10^{-9}$	پاشندگی مرتبه صفرم ( $\beta_0(\text{s/m})$ )
$18,53$ :I $12,35$ :II	پارامتر $\beta_0/n_0(1/\text{mrad.cm})$	$132,56$	پاشندگی مرتبه دوم $\beta_2(\text{fs}^2/\text{mm})$
		بیشتر از $0,5$	شدت آستانه (( $I_{thr}(\text{GW/cm}^2)$ ))

#### DKDP ۲-۵ بلور

بلور پتاسیم دوتیریم فسفات (DKDP:  $\text{KD}_2\text{PO}_4$ ) بلوری تک محوره منفی با گروه تقارنی  $42m$  است. این بلور یکی از ایزومرها KDP است، با این تفاوت که شفافیت بیشتری در ناحیه فروسرخ دارد. از ویژگی‌های اپتیکی آن می‌توان به ضریب غیرخطی نسبتاً اندک، آستانه تخریب بزرگ، شفافیت خوب در ناحیه فرابنفش، دوشکستی خوب و پذیرفشاری زاویه‌ای عالی آن اشاره کرد. DKDP ضریب مؤثر غیرخطی کوچکی دارد. این بلور به دلیل رشد آسان با کیفیت خوب در ابعاد بزرگ و قیمت مناسب مصرف تجاری بیشتری دارد. پذیرفشاری زاویه‌ای مطلوب و walk-off اندک از مزایای این بلور است. DKDP برای طول موج‌های  $200$  نانومتر تا  $1250$  نانومتر شفاف است. ویژگی‌های اپتیکی این بلور در تولید هماهنگ چهارم لیزر Nd:YAG در جدول (۵) آمده است. [۳۶، ۲۴-۲۲].

۴۲ / شبیه‌سازی تولید هماهنگ‌های دوم و چهارم لیزر تیپ Nd:YAG با استفاده از بلورهای غیرخطی: ...

#### جدول ۵ ویژگی‌های اپتیکی بلور DKDP برای تولید هماهنگ چهارم لیزر

Nd:YAG با طول موج ۱۰۶۴ نانومتر [۳۶، ۲۴-۲۲، ۱۰].

مقدار	پارامتر	مقدار	پارامتر
$\theta_{PM} = 90^\circ$ $\varphi_{PM} = 45^\circ$	زوایای تطبیق فاز نوع I (دماهی ۲۹۳ کلوین)	۰,۴	ضریب غیرخطی مؤثر $(P_m/V) d_{eff}$
۷,۴	پذیرفتاری دماهی $(L\Delta T \text{ cm} \cdot ^\circ\text{C})$	۰,۹۴	پذیرفتاری زاویه‌ای $(L\Delta\theta \text{ mrad} \cdot \text{cm})$
۳۲	پذیرفتاری طیفی $(L\Delta\lambda \text{ nm} \cdot \text{cm})$	۱,۴	walk-off $\rho \text{ (deg)}$ زاویه
$0,008 \times 10^{-3}$	$\beta_0 \text{ (s/m)}$ پاشندگی مرتبه صفرم	۰,۰۰۱	ضریب جذب خطی $(\alpha \text{ cm}^{-1})$
۷۱,۴۳	پاشندگی مرتبه دوم $\beta_2 \text{ (fs}^2/\text{mm)}$	$0,514 \times 10^{-8}$	پاشندگی مرتبه اول $\beta_1 \text{ (s/m)}$
پیشتر از ۳	شدت آستانه $(I_{thr} \text{ GW/cm}^2)$	۵,۹۱	پارامتر $\beta_0/n_0 \text{ (1/mrad.cm)}$

#### CLBO ۳-۵ بلور

بلور سزیم لیتیوم بورات (CLBO: CsLiB<sub>6</sub>O<sub>10</sub>)، بلوری تک محوره منفی با گروه تقارنی  $m\bar{m}\bar{m}$  است. این ماده غیرخطی خیلی راحت‌تر از LBO و BBO رشد داده می‌شود. از جمله ویژگی‌های اپتیکی این بلور می‌توان به ضریب غیرخطی بالا، پهنهای نوار پذیرش دماهی، طیفی و زاویه‌ای بالا، زاویه walk-off کوچک، آستانه تخریب بزرگ و شفافیت تا طول موج ۱۸۰ نانومتر اشاره کرد. بلور CLBO دارای ضریب غیرخطی کمتر از BBO است، اما به دلیل ویژگی دوشکستی متوسط آن از BBO برتر است. همچنین پهنهای نوار پذیرش دماهی و زاویه‌ای بالایی دارد. متاسفانه این بلور نم‌گیر است، به عبارت دیگر با رطوبت موجود در هوای اکتشش داده و لذا ویژگی‌های اپتیکی آن افت می‌کند. برای غلبه بر این مشکل باید بلور را در دماهای بالا ۱۴۰-۱۶۰ درجه سلسیوس نگهداری کرد. ویژگی‌های اپتیکی این بلور در تولید هماهنگ چهارم لیزر Nd:YAG در جدول (۶) آمده است [۳۶، ۲۴-۲۲، ۱۰].

### جدول ۶ ویژگی‌های اپتیکی بلور CLBO برای تولید هماهنگ چهارم لیزر Nd:YAG

با طول موج ۱۰۶۴ نانومتر [۳۶، ۲۲، ۱۰]

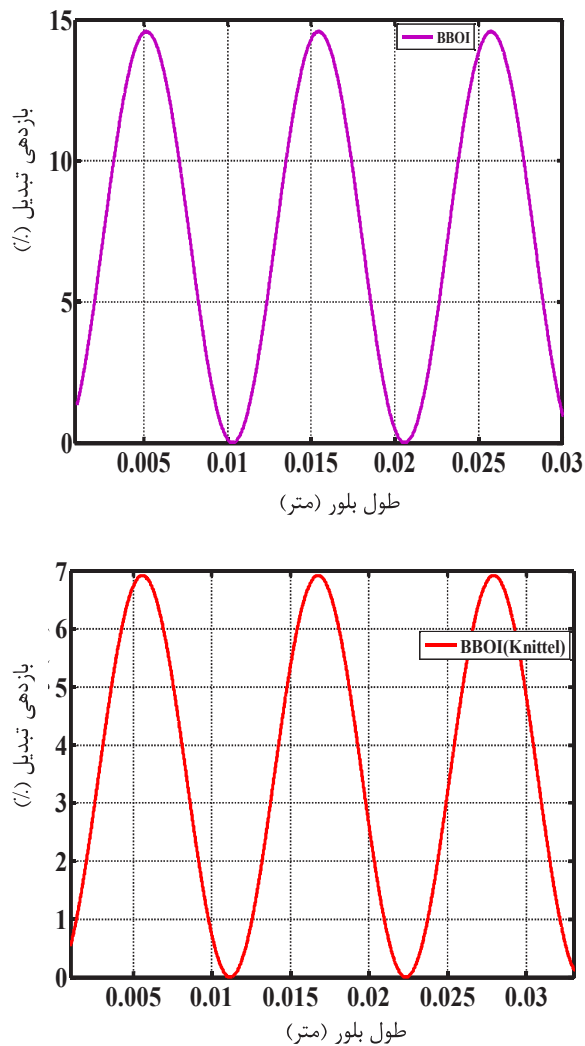
مقدار	پارامتر	مقدار	پارامتر
$\theta_{PM} = 62$ $\varphi_{PM} = 38$	زوایای تطبیق فاز نوع I (دماهی کلوزن)	۲۹۳	ضریب غیرخطی مؤثر ((Pm/V)) $d_{eff}$
۸/۳	پذیرفتاری دمایی (LΔT(cm.°C))	۰,۴۹	پذیرفتاری زاویه‌ای (LΔθ(mrad.cm))
۰,۱۳	پذیرفتاری طیفی (LΔλ(nm.cm))	۱,۸۳	زاویه walk-off ρ(deg)
$۰,۰۰۸ \times 10^{-9}$	پاشندگی مرتبه صفرم ( $\beta_0(s/m)$ )	۰,۰۰۱	ضریب جدب خطی ( $\alpha(cm^{-1})$ )
۷۷/۷۷۸	پاشندگی مرتبه دوم $\beta_2(fs^2/mm)$	$۰,۵۰۹ \times 10^{-8}$	پاشندگی مرتبه اول ( $\beta_1(s/m)$ )
۰,۹	شدت آستانه ( $I_{thr}(GW/cm^2)$ )	۱۱,۳۴	پارامتر ( $\beta_0/n_0(1/mrad.cm)$ )

### ۶. نتایج شبیه‌سازی تولید هماهنگ چهارم

در این بخش، تولید هماهنگ چهارم لیزر Nd:YAG را با استفاده از بلورهای BBO و DKDP و CLBO بررسی و شبیه‌سازی می‌کنیم. هم‌چنین، از هماهنگ دوم لیزر Nd:YAG به دست‌آمده از بلور KTP با چگالی انرژی  $۸۹۵/۰$  رُول به عنوان لیزر ورودی لحاظ شده است.

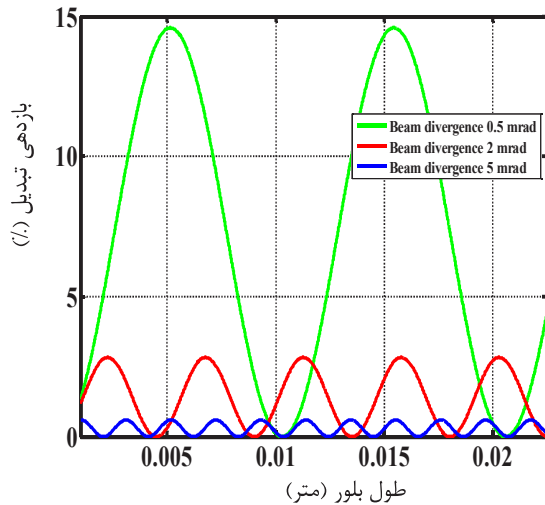
### ۶-۱ بلور BBO

شکل (۲۰) بازدهی تولید هماهنگ چهارم را بر حسب طول بلور BBOI نشان می‌دهد که در آن، زاویه واگرایی لیزر  $۰/۵$  میلی‌رادیان و افزایش دماهی ۲ درجه سلسیوس اعمال شده است. مطابق با این نمودار، بازدهی بلور در طول‌های ۵ میلی‌متر و ۱۵ میلی‌متر و ۲۵ میلی‌متر بیشینه و دارای مقادار  $۱۴/۵۸$  درصد است. نتایج از این بلور سازگاری خوبی با یکی از پژوهش‌های انجام‌شده توسط نایتل و همکاران [۳۸] برای بلور BBOII دارد. در این مقاله، از لیزر ورودی با مشخصات لیزر با چگالی انرژی  $۳۳۱,۵$  میلی‌رول در سانتی‌متر مربع و زاویه واگرایی  $۰,۵$  میلی‌رادیان و نرخ تکرار ۱۰ هرتز استفاده شده است. مقدار بازدهی به دست‌آمده در این مقاله  $۳۹/۵$  درصد گزارش شده است که با انجام شبیه‌سازی‌های لازم مقدار بازدهی  $۶/۹۲$  درصد به دست آمد. دلیل این اختلاف میان بازدهی  $۱۴/۵۸$  درصد و  $۳۹/۵$  درصد، توان لیزرهای ورودی است.



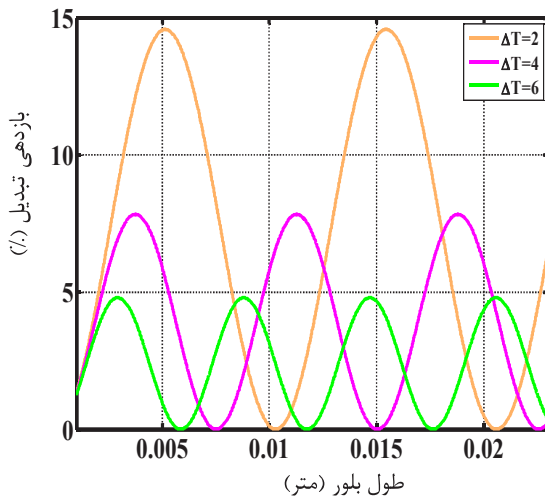
شکل ۲۰ بازدهی تولید هماهنگ چهارم برحسب طول بلور BBOI: نتایج شبیه‌سازی (تصویر بالا) و نیز شبیه‌سازی پژوهش آزمایشگاهی گروه نایتل و همکاران [۳۸] با مشخصات لیزر با چگالی انرژی ۳۳۱/۵ میلی‌ژول بر سانتی‌متر مربع و زاویه واگرایی ۵/۰ میلی‌رادیان (تصویر پایین).

شکل (۲۱) بازدهی تولید هماهنگ چهارم برحسب طول بلور BBOI را با لحاظ کردن زوایای واگرایی لیزر ۵/۰ و ۲ میلی‌رادیان و نیز افزایش دمای ۲ درجه سلسیوس به تصویر می‌کشد. با توجه به شکل، افزایش زاویه واگرایی لیزر کاهش چشم‌گیری در بازدهی هماهنگ چهارم این بلور به دلیل پذیرفتاری زوایه‌ای کم را به همراه دارد.



شکل ۲۱ بازدهی تولید هماهنگ چهارم بر حسب طول بلور BBOI با در نظر گرفتن زوایای واگرایی  $5/0$  میلی رادیان،  $2$  میلی رادیان و  $0.5$  میلی رادیان.

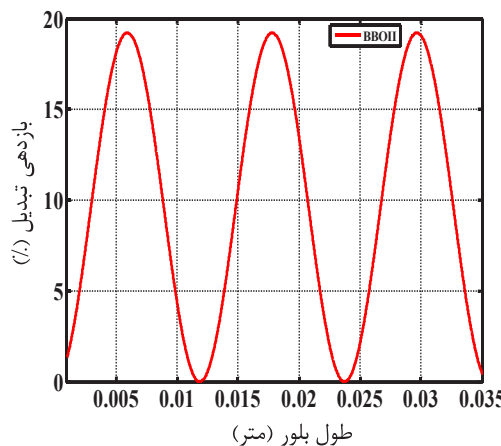
شکل (۲۲) بازدهی تولید هماهنگ چهارم را بر حسب طول بلور BBOI با لحاظ کردن تغییرات دمای  $2$  و  $4$  و  $6$  درجه سلسیوس و نیز زاویه واگرایی لیزر  $5/0$  میلی رادیان نمایش می دهد که کاهش این پارامتر نیز شدید است.



شکل ۲۲ بازدهی تولید هماهنگ چهارم بر حسب طول BBOI با افزایش دمای بلور  $2$  و  $4$  و  $6$  درجه سلسیوس.

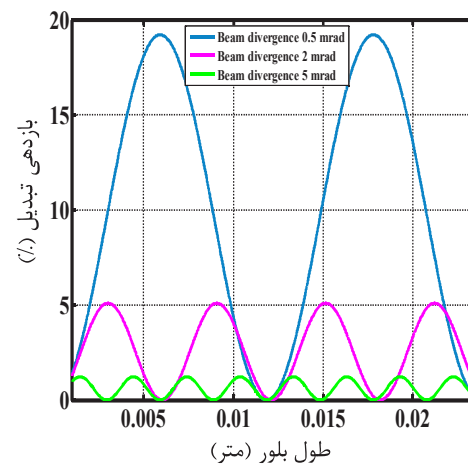
۴۶ / شبیه‌سازی تولید هماهنگ‌های دوم و چهارم لیزر تپی Nd:YAG با استفاده از بلورهای غیرخطی: ...

شکل (۲۳) بازدهی تولید هماهنگ دوم را بر حسب طول بلور BBOII نشان می‌دهد که در آن، زاویه واگرایی لیزر  $5/5$  میلی‌رادیان و افزایش دمای  $2$  درجه سلسیوس اعمال شده است. مطابق با این نمودار، بازدهی بلور در طول‌های  $5/8$  میلی‌متر و  $17$  میلی‌متر و  $29$  میلی‌متر بیشینه و دارای مقدار  $19/21$  درصد است.



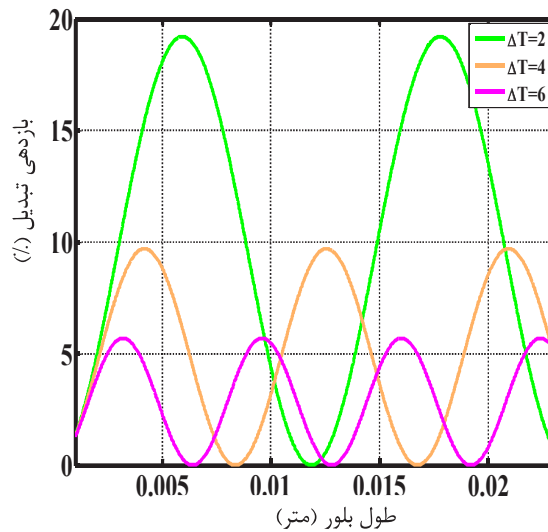
شکل ۲۳ بازدهی تولید هماهنگ چهارم بلور BBOII بر حسب طول بلور.

شکل (۲۴) بازدهی تولید هماهنگ دوم را بر حسب طول بلور BBOII با لحاظ کردن زوایایی واگرایی لیزر  $5/5$  و  $2$  و  $0.5$  میلی‌رادیان و تغییر دمای ایجادشده  $2$  درجه سلسیوس نشان می‌دهد.



شکل ۲۴. بازدهی تولید هماهنگ چهارم بر حسب طول بلور BBOII با در نظر گرفتن زوایایی واگرایی  $5/5$  میلی‌رادیان،  $2$  میلی‌رادیان و  $0.5$  میلی‌رادیان.

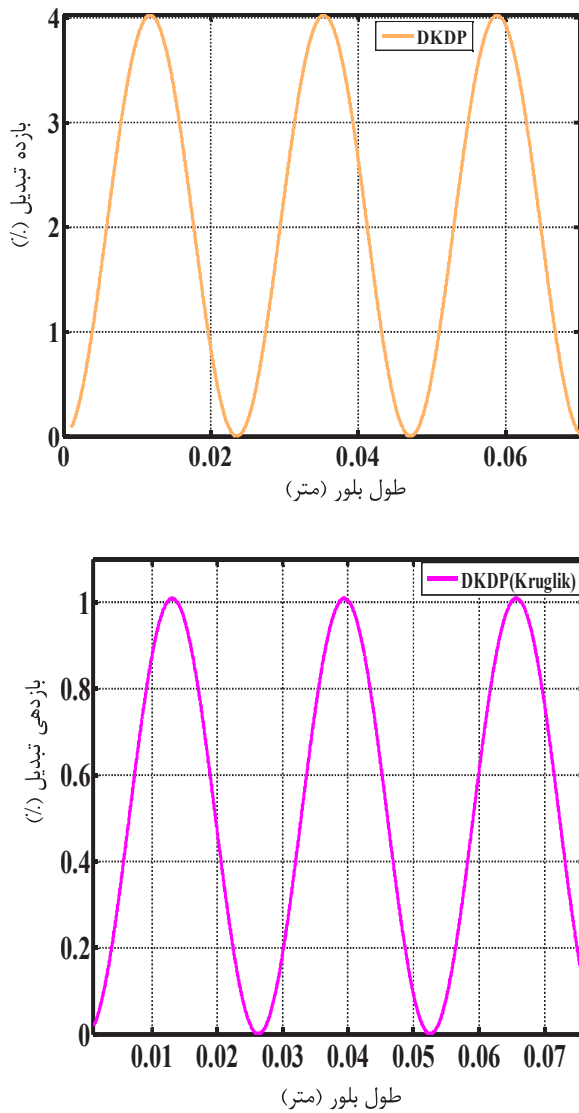
شکل (۲۵) نیز بازدهی تولید هماهنگ دوم بحسب طول بلور BBOII را با لحاظ کردن تغییرات دمای ۲، ۴ و ۶ درجه سلسیوس و زاویه واگرایی لیزر ۵، میلی رادیان نمایش می‌دهد.



شکل ۲۵ بازدهی تولید هماهنگ چهارم بحسب طول BBOII با افزایش دمای بلور ۲ و ۴ و ۶ درجه سلسیوس.

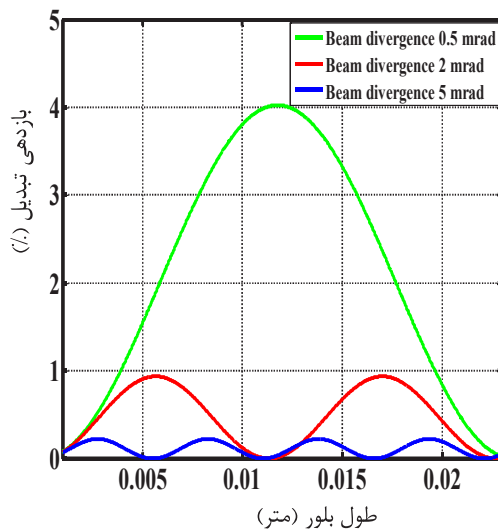
## ۶-۱ بلور DKDP

شکل (۲۶) بازدهی تولید هماهنگ چهارم را بحسب طول بلور DKDP نشان می‌دهد که در آن، زاویه واگرایی لیزر ۵، میلی رادیان و افزایش دمای ۲ درجه سلسیوس اعمال شده است. مطابق با این نمودار، بازدهی بلور در طول‌های ۱۱ میلی‌متر و ۳۵ میلی‌متر و ۵۸ میلی‌متر بیشینه و دارای مقدار ۴ درصد است. یکی از کارهای تجربی انجام شده با مشخصات لیزر ورودی نزدیک به لیزر ما متعلق به کروگلیک و همکاران است. در این مقاله، از لیزر ورودی با توان  $331/5$  میلی‌ژول و زاویه واگرایی  $5/0$  میلی رادیان و نرخ تکرار  $10$  هرتز استفاده شده است. مقدار بازدهی به دست آمده در این مقاله  $50$  درصد گزارش شده است، که با انجام شبیه‌سازی‌های لازم مقدار بازدهی  $2$  درصد به دست آمد، که دلیل این اختلاف پذیرفتاری دمایی بسیار کم این بلور است و شاید توان ورودی کم لیزر استفاده شده در این مقاله سبب این اختلاف شده است.



شکل ۲۶ بازدهی تولید هماهنگ چهارم برحسب طول بلور DKDP: نتایج شبیه‌سازی (تصویر بالا) و نیز شبیه‌سازی پژوهش آزمایشگاهی گروه کروگلیک و همکاران [۲۸] با مشخصات لیزر با چگالی انرژی ۳۳۱.۵ میلی‌ژول در سانتی‌متر مربع و زاویه واگرایی  $0^\circ$  و  $5^\circ$  میلی‌رادیان (تصویر پایین).

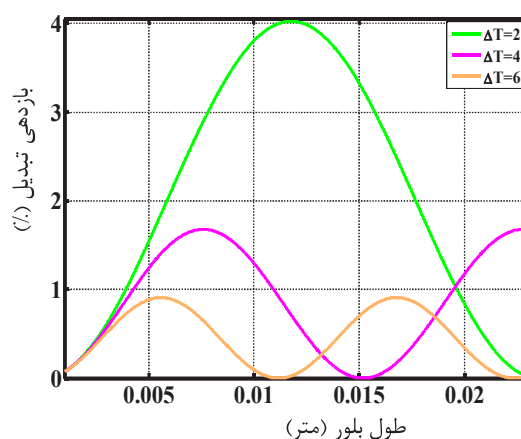
شکل (۲۷) بازدهی تولید هماهنگ چهارم لیزر Nd:YAG را برحسب طول بلور DKDP با لحاظ کردن زوایای واگرایی لیزر  $0/5^\circ$  و  $2^\circ$  و  $5^\circ$  میلی‌رادیان و تغییر دمای ایجادشده  $2^\circ$  درجه سلسیوس نشان می‌دهد.



شکل ۲۷ بازدهی تولید هماهنگ چهارم برحسب طول بلور DKDP با درنظر گرفتن زوایای واگرایی  $0.5$  میلی رادیان،  $2$  میلی رادیان،  $5$  میلی رادیان.

شکل (۲۹) بازدهی تولید هماهنگ دوم را برحسب طول بلور DKDP با لحاظ کردن تغییرات دمای  $2$  و  $4$  و  $6$  درجه سلسیوس و نیز زاویه واگرایی لیزر  $5/0$  میلی رادیان نمایش می دهد.

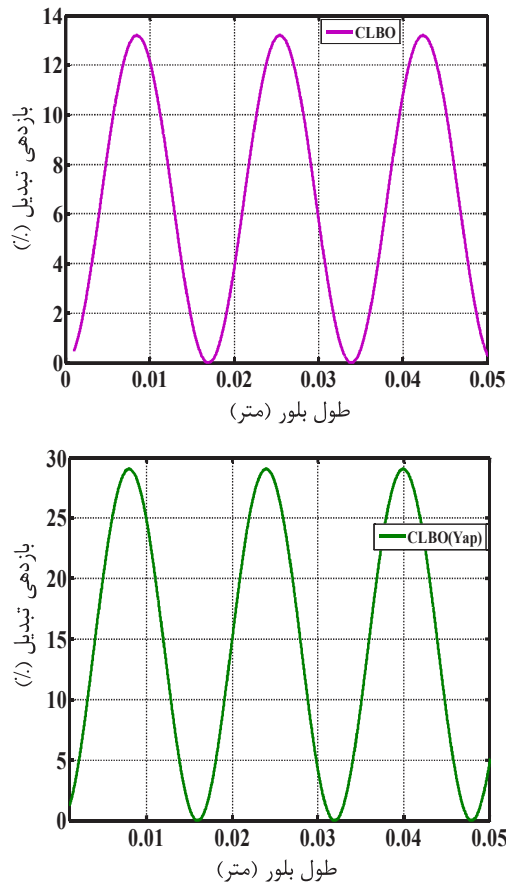
### ۳-۶. بلور CLBO



شکل ۲۸ بازدهی تولید هماهنگ چهارم برحسب طول DKDP با افزایش دمای بلور  $2$  و  $4$  و  $6$  درجه سلسیوس.

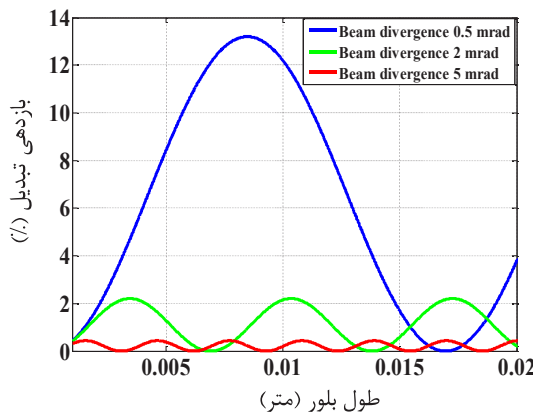
۵۰ / شبیه‌سازی تولید هماهنگ‌های دوم و چهارم لیزر تیج Nd:YAG با استفاده از بلورهای غیرخطی: ...

شکل (۲۹) بازدهی تولید هماهنگ چهارم را بر حسب طول بلور CLBO نشان می‌دهد که در آن، زاویه واگرایی لیزر  $0/5$  میلی‌رادیان و افزایش دمای  $2$  درجه سلسیوس اعمال شده است. مطابق با این نمودار، بازدهی بلور در طول‌های  $8/4$  میلی‌متر و  $25$  میلی‌متر و  $42$  میلی‌متر بیشینه و دارای مقدار  $13/2$  درصد به دست آمد، که سازگاری خوبی با یکی از پژوهش‌های انجام شده توسط یاپ [۳۱] دارد. در این مقاله، از لیزر ورودی با توان  $2300$  میلی‌ژول، زاویه واگرایی  $4/0$  میلی‌رادیان و نرخ تکرار  $10$  هرتز استفاده شده است. مقدار بازدهی به دست آمده در این مقاله  $20$  درصد گزارش شده است که با شبیه‌سازی‌های لازم مقدار بازدهی  $29/05$  درصد به دست آمد که مطابقت بسیار خوبی حاصل شد.



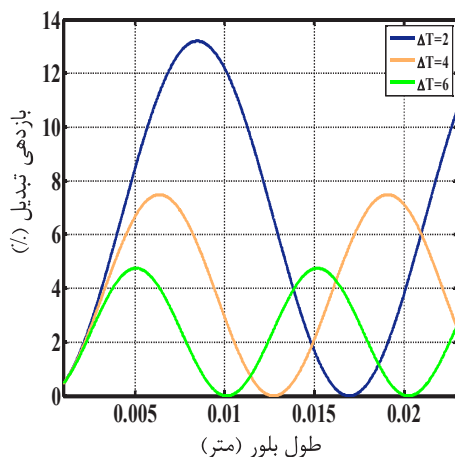
شکل ۲۹: بازدهی تولید هماهنگ چهارم بر حسب طول بلور CLBO: نتایج شبیه‌سازی (تصویر بالا) و نیز شبیه‌سازی پژوهش آزمایشگاهی گروه یاپ و همکاران [۳۱] با مشخصات لیزر با چگالی انرژی  $2300$  میلی‌ژول بر سانتی‌متر مربع و زاویه واگرایی  $0/5$  میلی‌رادیان (تصویر پایین).

شکل (۳۰) بازدهی تولید هماهنگ چهارم لیزر Nd:YAG را بر حسب طول بلور CLBO با لحاظ کردن زوایای واگرایی لیزر  $0/5^\circ$  و  $2^\circ$  و  $5^\circ$  میلی رادیان و افزایش دمای ایجاد شده در بلور  $2^\circ$  درجه سلسیوس نشان می دهد.



شکل ۳۰ بازدهی تولید هماهنگ چهارم بر حسب طول بلور CLBO با در نظر گرفتن زوایای واگرایی  $0/5^\circ$  میلی رادیان،  $2^\circ$  میلی رادیان،  $5^\circ$  میلی رادیان.

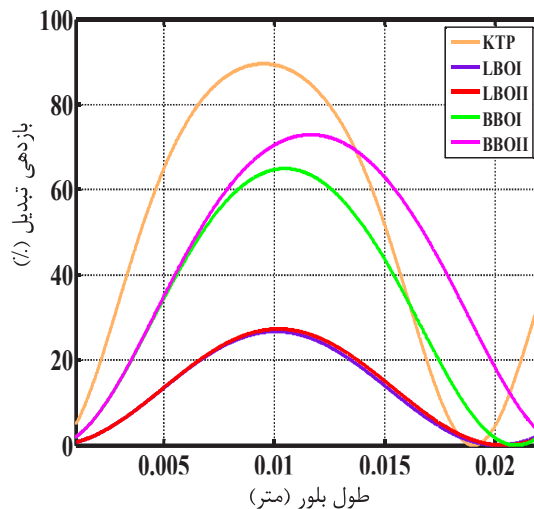
شکل (۳۱) بازدهی تولید هماهنگ چهارم لیزر Nd:YAG را بر حسب طول بلور CLBO با لحاظ کردن تغییرات دمای  $2^\circ$  و  $4^\circ$  و  $6^\circ$  درجه سلسیوس نیز زاویه واگرایی لیزر  $0/5^\circ$  میلی رادیان نمایش می دهد.



شکل ۳۱ بازدهی تولید هماهنگ چهارم بر حسب طول بلور CLBO با در نظر گرفتن زوایای واگرایی  $0/5^\circ$  میلی رادیان،  $2^\circ$  میلی رادیان،  $5^\circ$  میلی رادیان.

## ۷. نتیجه‌گیری

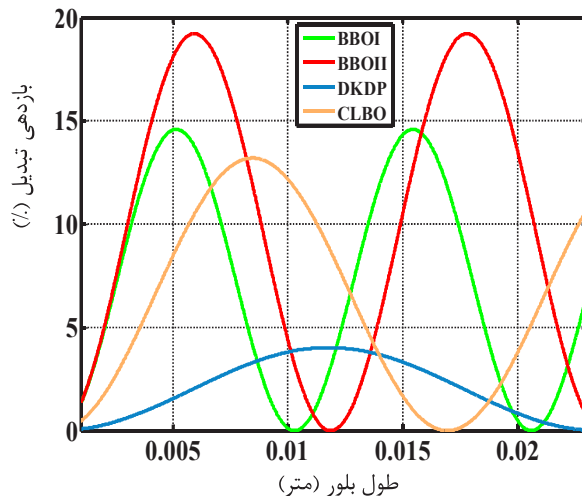
در این مقاله، تولید هماهنگ‌های دوم و چهارم لیزر تپی Nd:YAG با ویژگی‌های طول موج  $1064\text{nm}$  نانومتر و چگالی انرژی ۱ جول در سانتی‌متر مربع و نیز پهنه‌ای زمانی تپ  $10\text{ ns}$  با در نظر گرفتن آثار دمایی و زاویه‌واگرایی پرتو فرودی و نیز با رویکرد بررسی بازدهی شبیه‌سازی شد. بازدهی تبدیل تولید هماهنگ دوم Nd:YAG با استفاده از بلورهای KTP، LBO و BBO و نیز CLBO بازدهی تبدیل هماهنگ چهارم این لیزر به بهره گیری از بلورهای BBO، DKDP، DKDP ارائه شد. مطابق با شکل (۳۲)، بلور KTP بیشترین بازدهی را میان بلورهای مذکور به ارمغان آورد و دلیل آن ضریب غیرخطی مؤثر و پهنه‌ای نوار پذیرش زاویه‌ای و پهنه‌ای نوار دمایی بزرگ‌تر از بقیه بلورها و زاویه walk-off کوچک این بلور در قیاس با بلورهای دیگر است. آستانه تخریب بزرگ که سبب تحمل توان بالای لیزر و نیز پایداری شیمیایی و مکانیکی خوب می‌شود که به تطبیق پذیری بسیار مناسبی با پرتو لیزر و شرایط محیطی آزمایش می‌انجامد از دلیل بازدهی بیشتر این بلور است. بلورهای BBOII و BBOI نیز در رتبه‌های بعدی قرار گرفتند. ضریب غیرخطی مؤثر کمتر و نیز پذیرفتاری زاویه‌ای کمتر این بلور در قیاس با بلور KTP سبب ایجاد بازدهی کمتر این بلور شده است. بلورهای LBOII و LBOI به دلیل ضریب غیرخطی مؤثر و نیز پذیرفتاری دمایی کمتر از دو بلور دیگر، عدم تطبیق فاز زیادی را ایجاد کردند کمترین بازدهی تولید هماهنگ دوم را به خود اختصاص دادند.



شکل ۳۲ بازدهی بلورهای KTP، BBOII، BBOI و LBOII به منظور تولید هماهنگ دوم بر حسب طول بلور.

بنابراین، انتخاب ما از فهرست مذکور، KTP است که از نظر تهیه مناسب‌تر و نیز از لحاظ اقتصادی مفروض به صرفه‌تر است. اما در صورتی که پرتو لیزر فرودی از کیفیت اپتیکی خوب و زاویه‌واگرایی کمتر برخوردار باشد، بلور BBO نیز انتخاب مناسبی خواهد بود. در صورت مدنظر بودن آستانه‌بزرگ‌بلور، بلور BO نامزد خوبی برای این منظور است. بدین ترتیب، بلور منتخب به منظور تولید هماهنگ دوم لیزر Nd:YAG با مشخصات ذکر شده، KTP به دلیل ایجاد بیشترین میزان بازده یعنی ۸۹/۵۹ درصد است.

مطابق با شکل (۳۳)، بلور BBO بیشترین بازده را از میان بلورهای بررسی شده برای تولید هماهنگ چهارم دارد و یکی از دلایل آن دارا بودن ضریب غیرخطی مؤثر بسیار بیشتر از دو بلور دیگر است و تطبیق فاز نوع II این بلور نیز بازدهی بیشتری را نسبت به نوع I آن به دلیل پذیرفتاری زاویه‌ای بیشتر نشان داد که به واگرایی کمتر پرتو می‌انجامید. بلورهای BBOI، CLBO نیز در رتبه‌های بعدی قرار دارند که کمتر بودن بازدهی بلور CLBO به دلیل ضریب غیرخطی مؤثر کوچک‌تر این بلور نسبت به بلور BBO است. بلور DKDP نیز به دلیل ضریب غیرخطی مؤثر بسیار کمتر در قیاس با دو نوع بلور دیگر کمترین بازدهی تولید هماهنگ چهارم لیزر Nd:YAG را به خود اختصاص داد. بدین ترتیب، نتایج شبیه‌سازی بلور KTP را به عنوان بلور مناسب به منظور تولید هماهنگ دوم و بلور BBOII را نیز به عنوان بلوری پر بازده به منظور تولید هماهنگ چهارم لیزر Nd:YAG با طول موج ۱۰۶۴ نانومتر به ما پیشنهاد کرد.



شکل ۳۳ بازدهی بلورهای CLBO، DKDP، BBOII، BBOI در تولید هماهنگ چهارم لیزر Nd:YAG بر حسب طول بلور.

## منابع

- [1] Boyd, R.W., *Nonlinear Optics*, Academic press, 1992.
- [2] Hajiesmaeilbaigi, F.; Razzaghi, H.; Mahdizadeh, M.; Moghaddam, M. R. A.; Ruzbehani, M. "Design and Construction of a 110 W Green Laser for Medical Application"; OPT LASER TECHNOL. 2011, 43, 1428-1430.
- [3] Hopkins, F. K. "Military Laser Applications: Providing Focus to Nonlinear Optics R&D"; OPT PHOTONICS NEWS, 1998, 9, 32.
- [4] Klein, M. W.; Wegener, M.; Feth, N.; Linden, S. "Experiments on Second-and Third-Harmonic Generation from Magnetic Metamaterials"; OPT EXPRESS. 2007, 15, 5238-5247.
- [5] Klein, M. W.; Enkrich, C.; Wegener, M.; Linden, S. "Second-Harmonic Generation from Magnetic Metamaterials"; SCIENCE. 2006, 313, 502-504.
- [6] Miller; Robert C. "Optical Second Harmonic Generation in Piezoelectric Crystals"; APPL PHYS LETT. 1964, 5, 17-19.
- [7] Bergman Jr, J. G.; McFee, J. H.; Crane, G. R. "Pyroelectricity and Optical Second Harmonic Generation in Polyvinylidene Fluoride Films"; APPL PHYS LETT. 1971, 18, 203-205.
- [8] Koechner, W., *Solid-State Laser Engineering*, SPRINGER. 2006.
- [9] Driscoll, T. A.; Hoffman, H. J.; Stone, R. E.; Perkins, P. E. "Efficient Second-Harmonic Generation in KTP Crystals"; J OPT SOC AM. B 3, 1986, 5, 683-686.
- [10] Fan, T. Y.; Huang, C. E.; Hu, B. Q.; Eckardt, R. C.; Fan, Y. X.; Byer, R. L.; Feigelson, R. S. "Second Harmonic Generation and Accurate Index of Refraction Measurements in Flux-Grown KTiOPO<sub>4</sub>"; APPL OPTICS. 1987, 26, 2390-2394.
- [11] Brown, A. J.; Bowers, M. S.; Kangas, K. W.; Fisher, C. H. "High-energy, High-Efficiency Second-Harmonic Generation of 1064-nm Radiation in KTP"; OPT LETT. 1992, 17, 109-111.
- [12] Ruikun, Wu. "High-Efficiency and Compact Blue Source: Intracavity Frequency Tripling by Using LBO and BBO Without the Influence of Birefringence"; APPL OPTICS. 1993, 32, 971-975.
- [13] Yuan, X.; Wang, J.; Chen, Y.; Wu, Y.; Qi, Y.; Sun, M.; Wang, Q. "Laser at 532 nm by Intracavity Frequency-Doubling in BBO"; J SEMICOND. 2017, 38, 064007.
- [14] Zhang, Zilong, Qiang, Liu, and Mali Gong. "32.5 mJ 4.6 ns 532 nm Q-switched Nd:YAG Laser at 500 Hz"; APPL OPTICS. 2013, 52, 2735-2738.
- [15] Dudley, D. R.; Mehl, O.; Wang, G. Y.; Allee, E. S.; Pang, H. Y., Hodgson, N. "Q-switched Diode-Pumped Nd:YAG Rod Laser With Output Power of 420W at 532nm and 160W at 355nm"; P SOC PHOTO-OPT INS: Vol. 7193, INT SOC PHOTO-OPT, 2009.
- [16] Bhandari, R.; T. Taira. "0.5 MW peak power, kHz repetition rate at 266 nm using cut Nd: YAG microchip laser"; CLEO: IEEE, 2014.
- [17] Zhu, S. "A LD side-pumped deep ultraviolet laser at 266 nm by using a Nd: YAG/Cr4+: YAG/YAG composite crystal"; OPT LASER TECHNOL. 63, 24-28, 2014.
- [18] Kumar, S. "High-power, high-repetition-rate performance characteristics of  $\beta$ -BaB<sub>2</sub>O<sub>4</sub> for single-pass picosecond ultraviolet generation at 266 nm"; OPT EXPRESS. 23.21, 28091-28103, 2015.
- [19] Yang, H. "Improved beam profile of a 266 nm deep ultraviolet laser employing a multi-mirror-reflected cavity"; LASER PHYS LETT. 13.4, 045002, 2016.
- [20] Chai, X. "Noncritical phase-matched fourth harmonic generation properties of traditional grown large-size DKDP crystal"; OPT COMMUN. 392, 162-166, 2017.
- [21] Liu, Q. "High-energy single longitudinal mode 1 ns all-solid-state 266 nm lasers" APPL PHYS B. 89.2-3, 155-158, 2007.
- [22] Sutherland, R.L., *Handbook of Nonlinear Optics*, CRC press, 2003.
- [23] Polyanskiy, M. N. "Refractive Index Database"; <https://refractiveindex.info>, 2019.

- [24] Beijing Gospel OptoTech Co. "Crystal, Laser and Optics"; [http://www.bjgot.com/index\\_home.html](http://www.bjgot.com/index_home.html), 2019.
- [25] Chen, C.; Wu, B.; Jiang, A.; You, G.; "A New Type Ultraviolet SHG Crystal  $\alpha$ -BaB<sub>2</sub>O<sub>5</sub>"; SCI SINICA. 1985, B 28, 235-243.
- [26] Drnitriev, V. G.; Gurzadyan, G. G.; Nikogosyan, D. N. "Handbook of Nonlinear Optical Crystals"; Vol. 64, SPRINGER SERIES OPTI. 1999.
- [27] Armstrong, J.; Bloembergen, N.; Ducuing, J.; Pershan, P. "Interactions Between Light Waves in a Nonlinear Dielectric"; PHYS REV. 1962, 127, 1918.
- [28] Kruglik, G., N.; Kondratyuk, Shagov, A. A.; "Efficient Fourth Harmonic Generation of Nd: YAG Laser in DKDP Crystals"; IICONO 2001: P SOC PHOTO-OPT INS. Vol. 4751, INT SOC PHOTO-OPT. 2002, 137-144.
- [29] Sabaiean, M.; Mousave, L.; Nadgaran, H.; "Investigation of Thermally-Induced Phase Mismatching in Continuous-Wave Second Harmonic Generation: a Theoretical Model"; OPT EXPRESS. 2010, 18, 18732-18743.
- [30] Mohammad-Rezaee, M.; Sedaghat Jalil abadi, F.; Motazedian, A.; Sabaian, M. "Investigation of Temperature-Induced Phase Mismatching Effect in Efficiency and Temperature Band Width of Second Harmonic Generation in Double-Pass KTP Type II Crystal"; IRAN CONF PHOTO-OPT. 2012, 253-258.
- [31] Yap, Y. K.; Inagaki, M.; Nakajima, S.; Mori, Y.; Sasaki, T. "High-Power Fourth-and Fifth-Harmonic Generation of a Nd: YAG Laser by Means of a CsLiB<sub>6</sub>O<sub>10</sub>"; OPT LETT. 1996, 21, 1348-1350.
- [32] Zheng, J.; Zhao, S.; Wang, Q.; Zhang, X.; Chen, L. "Influence of Thermal Effect on KTP type-II Phase-Matching Second-Harmonic Generation"; OPT COMMUN. 2001, 199, 207-214.
- [33] DeSalvo, R.; Hagan, D. J.; Sheik-Bahae, M.; Stegeman, G.; Van Stryland, E. W.; Vanherzeele, H. "Self-Focusing and Self-Defocusing by Cascaded Second-Order Effects in KTP"; OPT LETT. 1992, 17, 28-30.
- [34] Zhang, L.; Zhang, F.; Xu, M.; Wang, Z.; Sun, X. "Rapid Growth of a Large Size, Highly Deuterated DKDP Crystal and Its Efficient Noncritical Phase Matching Fourth-Harmonic-Generation of a Nd: YAG Laser"; RSC ADV. 2015, 5, 74858-74863.
- [35] Eimerl, D. "High Average Power Harmonic Generation"; IEEE J QUANTUM ELECT. 1987, 23, 575-592.
- [36] Nikogosyan, D. N., *Nonlinear Optical Crystals*, SPRINGER, 2005.
- [37] <http://www.simphtek.net/bckg/bckg.diffraction.html>, 2014.
- [38] Knittel, J.; Kung, A. H. "39.5% Conversion of Low-Power Q-switched Nd: YAG Laser Radiation to 266 nm by Use of a Resonant Ring Cavity"; OPT LETT. 1997, 22, 366-368.